

OSLO METROPOLITAN UNIVERSITY
STORBYUNIVERSITETET

Institutt for bygg- og energiteknikk — Energi og miljø i bygg

Postadresse: Postboks 4 St. Olavs plass, 0130 Oslo

Besøksadresse: Pilestredet 35, Oslo

Webside: www.oslomet.no

MASTEROPPGAVE

OPPGAVENS TITTEL:	DATO:
Målenøyaktigheten til VAV-enheter montert i t-gren og bенд	25.05.2023
FORFATTERE:	ANTALL SIDER OG VEDLEGG: 52 sider 31 sider vedlegg
Oguzhan Al	VEILEDER: Peter Schild

UTFØRT I SAMARBEID MED:	KONTAKTPERSON:
OSLO METROPOLITAN UNIVERSITY	Oguzhan Al

KORT SAMMENDRAG:
Målingsarbeidet som ble utført i denne rapporten deles opp i to faser. Begge fasene baserer seg på å finne ut unøyaktigheten til VAV-enheter i henhold til ulike avstander, rotasjoner og ulike luftmengdefordelinger på enheten. Fase 1 gikk ut på å finne unøyaktigheten til enheten etter 90 graders bend. Fase 2 gikk ut på å måle unøyaktigheten til VAV enhetene etter T-gren. I fase 1 ble det testet forskjellige hastigheter fra kanalvifte, i fase 2 gikk kanalvifte på fast turtall og ulike luftmengdefordelinger i gren og rett frem ble testet. Ved å analysere resultatene ser vi at anbefalingen om å holde minst 5*diameter avstand fra gren og bend ikke holder. Vi må se nærmere på det vi ønsker, ønsker vi nøyaktighet ved laveluftmengder og lavehastigheter for ultralyd, målekors og målesirkel ser vi at 3*diameter vil være det best mulige.

NØKKELORD (en per linje):
VAV-enheter
T-gren
Bend

Sammendrag

For å bevare produsentens anonymitet og formidle alle resultater uten å skade produsentens merkevare, har vi valgt å ikke navngi produkter og produsenter for VAV-enhetene. I denne rapporten vil VAV-enhetene refereres til som måleprinsipper og ikke konkreter. Dette er også for å sikre rapportens kvalitet.

Vi vet i dag at avstand etter bend eller t-gren har stor påvirkning på målt nøyaktighet. Sintef foreslår at minste avstand etter t-gren til å være minst $5*D$, men gir ingen opplysning om rotasjon. I dette prosjektet skal vi se nærmere på om rotasjon og avstand egentlig har stor betydning eller ikke. Denne artikkelen introduserer et nytt instrument for måling av lufthastighet, kalt «ultralyd», som måler lufthastigheten ved hjelp av ultralyd. Ultralyd har ingen hindring i VAV-enheten og forårsaker dermed ingen ekstra trykkfall i kanalsystemet. Lufthastighetsmålere som blir brukt i dette prosjektet er ultralyd, målesirkel, målekors og trykk over spjeld blad. Alle disse enhetene har noe til felles og det er at de er integrert i VAV-enheten.

Målingsarbeidet som ble utført i denne rapporten deles opp i to faser. Begge fasene baserer seg på å finne ut unøyaktigheten til VAV-enheter i henhold til ulike avstander, rotasjoner og ulike luftmengdefordelinger på enheten. Fase 1 gikk ut på å finne unøyaktigheten til enheten etter 90 graders bend. Fase 2 gikk ut på å måle unøyaktigheten til VAV enhetene etter T-gren. I fase 1 ble det testet forskjellige hastigheter fra kanalvifte, i fase 2 gikk kanalvifta på fast turtall og ulike luftmengdefordelinger i gren og rett frem ble testet.

Ved å analysere resultatene ser vi at anbefalingen om å holde minst $5*diameter$ avstand fra gren og bend ikke holder. Vi må se nærmere på det vi ønsker, ønsker vi nøyaktighet ved laveluftmengder og lavehastigheter for ultralyd, målekors og målesirkel ser vi at $3*diameter$ vil være det best mulige. Ønsker vi nøyaktighet for trykk over spjeld blad ved lavehastigheter ser vi at vi må holde oss $10*diameter$ unna avgrenning. Dersom vi ser bort ifra lavehastigheter og lite luftmengdefordeling i gren er $5*diameter$ avstand et bra settpunkt. Vi kan se bort ifra rotasjon i og med at VAV-enhetene er relativt lite påvirket av rotasjon når de er plassert $5*diameter$ unna avgrenning og bend.

English summary

To preserve the manufacturer's anonymity and communicate all results without damaging the manufacturer's brand, we have chosen not to name products and manufacturers for the VAV units. In this report, the VAV units will be referred to as measurement principles and not specifics. This is also to ensure the quality of the report.

We know today that the distance after the bend or t-branch has a great influence on the measured accuracy. Sintef suggests the minimum distance after and t-branches to be at least $5*D$ but does not provide any information about rotation and how these airspeed meters should be placed. In this project, we will take a closer look at whether rotation and distance are important or not. Air speed meters used in this project are ultrasound, measuring circle, measuring cross and pressure above damper blade. All these units have something in common and that is that they are integrated into the VAV unit. This paper introduces a new instrument for measuring airspeed, called «ultrasound», which measures airspeed using ultrasound. Ultrasound has no obstruction in the VAV unit and thus causes no additional pressure to drop in the duct system.

The measurement work carried out in this report is divided into two phases. Both phases are based on finding out the inaccuracy of VAV units according to different distances, rotations, and different air volume distributions on the unit. Phase 1 involved finding the inaccuracy of the device after a 90-degree bend. Phase 2 involved measuring the inaccuracy of the VAV units according to T branch. In phase 1, different speeds from the duct fan were tested, in phase 2 the duct fan ran at a fixed speed and different air volume distributions in branch and straight ahead were tested.

By analyzing the results, we can see that the recommendation to keep at least a $5*\text{diameter}$ distance from branches and bends does not hold. We have to look closely at what we want, if we want accuracy at low air volumes and low speeds for ultrasound, measuring cross and measuring circle, we can see that $3*\text{diameter}$ will be the best possible. If we want accuracy for pressure above the damper blade at low speeds, we could see that we must stay $10*\text{diameter}$ away from branches. If we disregard low speeds and little air volume distribution in the branch, a $5*\text{diameter}$ distance is a good set point. We can disregard the need for rotation as the VAV units are relatively little affected by rotation when they are placed $5*\text{diameter}$ away from branches and bends.

Forord

Jeg vil gjerne uttrykke min takknemlighet til min veileder Peter Geoffrey Schild for kontinuerlige kommentarer, oppmuntring og engasjerende diskusjoner gjennom hele produksjonen av denne masteroppgaven. Videre vil jeg takke Stein Arne Sværen fra Assemblin Ventilasjon, for deres samarbeid og tilrettelegging til eksperimentstedet. Jeg vil også takke klassekameratene mine, for to minneverdige år som jeg setter pris på.

Oguzhan Al

Oslo, 25.mai 2023

Innholdsfortegnelse

Sammendrag.....	2
English summary.....	3
Forord.....	4
Figur-liste	7
Tabell-liste.....	8
1.Innhold	9
1.1 Introduksjon.....	9
1.2 Bakgrunn	10
1.3 Hypotese.....	10
2. Teori	11
2.1 Tidligere litteraturstudier.....	11
2.2 Luftmengde måleprinsipper.....	11
2.2.1 Målekors.....	11
2.2.2 Målesirkel.....	12
2.2.3 Trykk over spjeld.....	13
2.2.4 Ultralyd.....	14
2.3 Måleenheter.....	14
2.3.1 BAAS målestasjon	14
2.3.2 SWEMA 3000md	15
2.3.3 Fra trykk over BAAS målestasjon til luftmengde (m^3/h)	16
2.3.4 ZTH-EU.....	16
3 Metode.....	18
3.1 Materialer og måleoppsett	18
3.2 Eksperimental design	22
3.2.1 Fase 1.....	22
3.2.2 Fase 2.....	26
3.3 Rutiner som ble fulgt.....	34
4. Resultater.....	36
4.1 Resultater for fase 1.....	36
4.2 Resultater for fase 2.....	42
5 konklusjon	49
Kilder.....	52
Vedlegg A	54
Vedlegg B.....	55
Vedlegg C.....	56

Vedlegg D	59
Vedlegg E	60
Vedlegg F	62
Vedlegg G	63
Vedlegg H	64
Vedlegg I	65
Vedlegg J	71

Figur-liste

- Figur 2.2.1-1 (målekors)
- Figur 2.2.2-1: (målesirkel)
- Figur 2.2.3-1 (Trykk over spjeldblad)
- Figur 2.2.4-1 (ultralyd)
- Figur 2.3.1-1 (BAAS målestasjon sirkulær (BAAS component, 2023))
- Figur 2.3.2-1 (Swema 3000md med silikonslanger)
- Figur 2.3.4-1 (ZTH-EU Belimo)
- Figur 2.3.4-2 (ZTH koblet opp spjeldmotor (hentet fra Micromatic))
- Figur 3.1-1 ($\text{Ød1} = 16\text{cm}$, $I = 16\text{cm}$, $r_m = 1 * \text{Ød}$ (vedlegg D))
- Figur 3.1-2 ($\text{Ød1} = 16\text{ cm}$, $\text{Ød3} = 16\text{ cm}$, $I = 209\text{mm}$, $I_3 = 105\text{mm}$ og $r = 2\text{ cm}$ (Vedlegg E))
- Figur 3.1-3 (størrelse på $r=2\text{cm}$)
- Figur 3.2.1-1 (hastighetsregulator koblet opp mot CK vifte)
- Figur 3.2.1-1 (måleoppsett for fase 1)
- Figur 3.2.2-2 (egendefinert luftretter)
- Figur 3.2.2-3 (luftprofil uten luftretter)
- Figur 3.2.2-4 (luftprofil før og etter luftretter)
- Figur 3.2.2-5 (avrundet innløp på kanalvifta)
- Figur 3.2.2-6 og 3.2.2-7 (helt åpen iris spjeld)
- Figur 3.2.2-8 og 3.2.2-9 (helt strupt iris spjeld)
- Figur 3.2.2-1 (måleoppsett fase 2)
- Figur 3.3.1 (oppeng ble montert ned i bakken)
- Figur 3.3-3(Swema koblet mot BAAS)
- Figur 3.3-2 (temperatur og luftfuktighet måler)
- Figur 4.1-1 (Måleavvik ved avstander og hastigheter)
- Figur 4.2-1 (måleavvik ved avstander og luftfordeling)
- Figur 4.2-2 (luftmengdefordeling)

Tabell-liste

Tabell 3.1-1 (utstyrsliste)

Tabell 3.2.1-1 (rotasjonsposisjoner for fase 1)

Tabell 3.2.2-1 (serienummer og k-faktor)

Tabell 3.2.2-3 (rotasjonsposisjoner for fase 2)

Tabell 4.1-1 (tabell for figur 4.1-1)

Tabell 4.1-2 (avvik 0 cm etter bend)

Tabell 4.1-3 (avvik 16 cm etter bend)

Tabell 4.1-4 (avvik 48 cm etter bend)

Tabell 4.1-5 (avvik 80 cm etter bend)

Tabell 4.1-6 (avvik 160 cm etter bend)

Tabell 4.2-1 (tabell for figur 4.2-1)

Tabell 4.2-2 (avvik 0 cm etter gren)

Tabell 4.2-3 (avvik 16 cm etter gren)

Tabell 4.2-4 (avvik 48 cm etter gren)

Tabell 4.2-5 (avvik 80 cm etter gren)

Tabell 4.2-6 (avvik 160 cm etter gren)

1. Innhold

1.1 Introduksjon

For å bevare produsentens anonymitet og formidle alle resultater uten å skade produsentens merkevare, har vi valgt å ikke navngi produkter og produsenter for VAV-enhetene. I denne rapporten vil VAV-enhetene refereres som måleprinsipper og ikke konkreter. Dette er også for å sikre rapportens kvalitet.

Lufthastighetsmåling er en unngåelig del i energieffektiv styring av moderne ventilasjonssystemer. Et eksempel på dette kan være terminalspjeld i soneområder som kontrolleres for å tilfredsstille settpunktverdi for luftstrømhastighet i behovsstyrte ventilasjonssystemer også kjent som DCV. Et annet eksempel på dette er at hastigheten på viften kan variere basert på forespørsel av luftstrøm i variable luftvolum, kjent som VAV (Maripuu, 2009). Energieffektiv kontroll av ventilasjonssystemer innebærer faktisk at minimum krav til trykk og luftmengde må være fulgt (Rahnama et al. 2017). Derimot, kan lufthastighetsmåling i seg selv være en direkte eller indirekte hindring for å oppfylle dette målet. Lufthastighet- og luftmengdemålere med utstikkende deler i luftstrømmen kan føre til trykkfall i kanalsystemet. Disse lufthastighetsmålerne samler inn mye støv og smuss som krever regelmessig rengjøring. For å kompensere for disse faktorene er ventilasjonsanlegget ofte overdimensjonert, med høyere energiforbruk for å sikre at systemet virker som det skal.

Luftmengden for de ulike måleprinsippene har vært variert mellom 43 m³/h og 430 m³/h inne i kanalen, med endring av viftestyrke og justering på VAV-spjeld. Forsøket kan deles inn i to faser, der fase 1 var å teste nøyaktigheten til VAV-spjeld etter bend, med forskjellige rotasjoner på VAV-enheten og ulike lengder fra bend. Fase 2 gikk ut på å teste nøyaktigheten til ulike VAV-enheter, ved forskjellige luftmengdefordelinger, rotasjoner og avstand fra t-gren.

Vi vet i dag at avstand etter bend eller t-gren har stor påvirkning på målt nøyaktighet. Sintef foreslår minste avstand etter t-gren til å være minst 5*D, men gir ingen opplysning om rotasjon på VAV enheten (Mysen & Schild, 2013, s.45). I dette prosjektet skal vi se nærmere på om rotasjon og avstand har stor betydning på avviket som leses av VAV-enheten. Lufthastighetsmålere som blir brukt i dette prosjektet er ultralyd, målesirkel, målekors og trykk over spjeld blad. Alle disse enhetene har noe til felles og det er at de er integrert i VAV-enheten. Denne artikkelen introduserer et nytt instrument for måling av lufthastighet, kalt

«ultralyd», som måler lufthastigheten ved hjelp av ultralyd. Ultralyd har ingen hindring i VAV-enheten og forårsaker dermed ingen ekstra trykkfall i kanalsystemet.

1.2 Bakgrunn

Bakgrunnen til denne rapporten er å teste nøyaktigheten til ulike VAV-enheter og sammenligne dette opp mot produktdatabladet. Vi vil altså se om det produsentene sier om sitt eget produkt stemmer, altså om produkt er forenlig med produktbeskrivelse.

Vi vil også se nærmere på anbefalinger fra Sintef (Mysen & Schild, 2013, s.45). I rapporten fra Sintef kommer det til uttrykk at VAV-enhet må være minst 5*diameter fra t-gren.

5*diameter betyr 5*kanalstørrelse i diameter, for eksempel vil en Ø160 kanal være $5 \cdot 16 = 80$ cm fra avgrening eller bend. Sintef sier ingenting om rotasjon på VAV-enheten, vi vil se nærmere på om det har noe betydning eller ikke (Mysen & Schild, 2013, s.45).

1.3 Hypotese

- Hva er nøyaktigheten til ulike VAV-måleprinsipper montert i T-gren eller bend?
- Er VAV-enheter påvirket av rotasjon og avstand etter gren/bend?
- Har luftmengdefordeling betydning på målt nøyaktighet.
- I henhold til Sintef (Mysen & Schild, 2013, s.45) anbefales det til minst fem ganger den hydrauliske diameteren nedstrøms for hindringen ($5 \cdot D$). Er dette et godt settpunkt? Burde de si noe om rotasjon?

2. Teori

2.1 Tidligere litteraturstudier

Det er per dags dato ingen studier som omhandler målenøyaktighet til VAV-måleenheter, avhengig av rotasjon og avstand. Det nærmeste vi kommer er en forskningsrapport fra Danmark, den heter «A new technology for measuring low airflow rate with ultrasonic beam in mechanical ventilation systems» (Rahnama et al, 2017). Rapporten omhandler målenøyaktigheten til ulike måleprinsipper ved forskjellige hastigheter fra kanalvifte.

De konkluderer med at det produsent utgir av målenøyaktighet stemmer svært godt med deres resultater, de påpeker også at dette gjelder spesielt ved lave hastigheter. Forfatterne skriver også at målenøyaktigheten blir mindre når hastigheten til vifta øker.

Studiet over har benyttet høyere hastigheter (1.3-7.3 m/s, dvs. 10.4-57.1 l/s i en ø 100mm kanal) enn vi ønsker i VAV terminalkanaler. Studiet har derfor ikke bekreftet nøyaktigheten på nedre hastigheteområde for ultralyd. Artikkelen gir inntrykk av at måleavviket for ultralyd blir mindre desto lavere lufthastighet, men virkeligheten er at ultrasoniske anemometer kan ha en systematisk offset.

2.2 Luftmengde måleprinsipper

Det finnes flere forskjellige metoder for å måle lufthastighet og dermed luftmengde i kanaler. I dette kapitelet forklares det kort om de ulike måleprinsippene som ble brukt i undersøkelsen. En CK160 vifte er koblet til en Ø160 kanal for å produsere luftstrøm. Måleprinsippene som ble utforsket var ultralyd, målekors, målesirkel og trykkmåling i spjeld. Disse måleprinsippene er innlemmet i VAV-spjeldene som kobles opp i kanalsystemet.

2.2.1 Målekors

En VAV-enhet med integrert målekors ble brukt for å måle lufthastigheten i undersøkelsen (figur 2.2.1-1). Grunnprinsippet til denne måleenheten er det samme som pilot-rør, det vil si at den måler dynamisk trykk for å beregne luftstrømhastigheten. Forskjellen mellom disse måleprinsippene er strukturen til målekorset, korset gjør at det dynamiske trykket kan måles ved flere faste punkter i tverrsnitt området. Dette letter målingene som blir tatt sammenlignet med en tradisjonell pilot-rør, da det ikke krever noe manuell flytting. I henhold til produsent har enheten et måleavvik for området;

10 - 20% av nominell: $\pm 25\%$

20 - 40% av nominell: $<\pm 10\%$

40-100% av nominell: $<\pm 4\%$

Det brukes en ZTH belimo både for å lese luftmengde og justere spjeldet.



Figur 2.2.1-1 (målekors)

2.2.2 Målesirkel

VAV-enhet med målesirkel ble også testet i undersøkelsen, denne har akkurat samme prinsipp som målekors og pilot-rør. Forskjellen mellom målekors og målesirkel er at den ene mäter langs korset, mens målesirkel mäter langs kantene på VAV-enheten (figur 2.2.2-1).

Airflow on this device is measured by a ZTH belimo. The flap is also controlled by a ZTH.



Figur 2.2.2-1 (målesirkel)

I henhold til produsent har dette måleprinsippet en unøyaktighet på;

Luftmengde (m ³ /h)	Avvik +/- (%)
43	15
180	12
306	8
432	5

2.2.3 Trykk over spjeld

Denne måleenheten er helt annerledes da den mäter trykk over spjeld. Luftmengden måles via trykkmåling i spjeldbladet og reguleringen og spjeldbevegelsen skjer i VAV-regulatoren som er påmontert (figur 2.2.3-1). Måletrykket som blir målt, overføres direkte til regulatoren via spjeldakslingen, så det er ingen utenpåliggende slanger eller kabler på produktet. Produsent påstår at den kan kobles direkte etter bend og avgrening, samt. at den har en unøyaktighet avhengig av luftmengde som blir målt over VAV-enheten, unøyaktigheten ser slik ut;

Luftmengde (m ³ /h)	Avvik +/- (%)
35	18
333	7
631	5
929	5

Denne VAV-enheten er litt annerledes da den kommer til å lese luftmengde og justere spjeldbladet. Den har en integrert regulator som leser av luftmengde, samt. for å sette settpunkt verdier.



Figur 2.2.3-1 (Trykk over spjeldblad)

2.2.4 Ultralyd

Alle de overnevnte lufthastighetsmålerne og andre eksisterende strømningsinstrumenter produserer mer eller mindre et trykkfall i kanalsystemet, dette på grunn av deres utstikkende deler i luftstrøm. Målekors- kors som påvirker trykk, målesirkel- sirkel rundt VAV-enheten medfører at kanalen blir mindre dermed fører til trykk. Desto høyere trykkfall i kanalen dermed høyere energibruk for å kjøre viften i kanalsystemet.

Ultralyd er den nye teknologien i bransjen, som eliminerer trykkfall og bidrar til mindre overdimensjonering av systemet da produsent mener at den måler riktig, selv ved lav luftstrøm. Figur 2.2.4-1 viser hvordan ultralyd-designet ser ut. Sensoren består av en sensorkropp og to flowsensorer som er montert på selve sensorhuset. Ultralyden måler lufthastigheten med en vinklet ultralydstråle. Ifølge produsenten har ultralyden en unøyaktighet på ± 1 l/s ved lave luftmengder, dvs. $\pm 10\%$ ved 1.3 m/s, og $\pm 200\%$ ved 0.5 m/s.



Figur 2.2.4-1 (ultralyd)

2.3 Måleenheter

Dette kapittelet omhandler de ulike måleenhetene som ble brukt under forsøket, samt hvordan trykk ble gjort om til m^3/h .

2.3.1 BAAS målestasjon

BAAS målestasjoner har vært ute i markedet helt siden 1987. Disse målestasjonene baserer seg på differansetrykkprinsippet, disse er utviklet til bruk av innregulering og konstant luftmengdemåling med krav til svært høy nøyaktighet. Målestasjoner gjør det mulig å måle lufthastigheten uten bruk av pitotrør og det viktigste at den måler differansetrykket over hele tverrsnittet (BAAS component, 2023).

BAAS' målestasjoner er testet ved Norges Bygg forskningsinstitutt (NBI) og Howden-Variax laboratoriet i Danmark (vedlegg A for mer informasjon). Disse testene viser at målestasjonene har en toleranse mellom +/- 4%, gitt de er installert i henhold til BAAS' prosedyrer (BAAS component, 2023). Figur (2.3.1-1) nedenfor viser hvordan en BAAS målestasjon ser ut. Kalibreringsbevis på BAAS målestasjoner er lagt til i vedlegg B.



Figur 2.3.1-1 (BAAS målestasjon sirkulær (BAAS component, 2023))

2.3.2 SWEMA 3000md

Under forsøket ble det brukt en SWEMA 3000md, som ble koblet opp mot BAAS målestasjon ved hjelp av to silikonslanger (figur 2.3.2-1). Swema 3000md ble brukt til å måle trykket over BAAS målestasjonen.



Figur 2.3.2-1 (Swema 3000md med silikonslanger)

2.3.3 Fra trykk over BAAS målestasjon til luftmengde (m^3/h)

Kalibrerings bevis for alle tre BAAS målestasjoner er lagt til vedlegg B. Alle hadde samme k-faktor på 0,62, så de har samme kalibrerings bevis. For å gjøre om trykket (Δp) som blir målt over BAAS målestasjonen til m^3/h kan følgende formler brukes;

$$[m^3/h] \approx 43 \sqrt{\Delta p} [1]$$

Ved bruk av denne formelen [1] er det forutsatt standard luft densitet 1.2 kg/m³.

For å regne ut en mer nøyaktig og riktig luftmengde må formel [2] brukes. Δp leses fra Swema 3000md som kobles til BAAS målestasjonen. For å finne ρ som inngår i formel [2] brukes formel [3]. Formel 3 går ut på å finne luftens densitet, når vi vet hva fuktighet og temperatur verdiene er.

$$[m^3/h] \approx 43.335159 \times \sqrt{(\rho/1.2) \times (\Delta p)} 0.4976289 [2]$$

$$\rho(\varphi, p, t) = 1/(287,06(t + 273,15)) (p - 230,617 * \varphi * \exp[(17,5043 * t)/(241,2 + t)]) [3]$$

ρ = luftens densitet

φ = relativ fuktighet

p = atmosfærisk trykk

t = lufttemperatur

Relativ fuktighet og lufttemperatur måles ved utløp av kanal. Atmosfærisk trykk blir funnet ved å notere ned tidspunkt for måling, deretter bruke meteorologisk institutt for å finne riktige verdier (dette er beskrevet i detalj i kapittel 3.3). Etter at alle verdiene er funnet setter vi det inn i formel [3] og finner luftens densitet for gitt tidspunkt og sted. Når luftens densitet er funnet ut bruker vi formel [2] for å få nøyaktig riktig luftmengde over BAAS-målestasjon.

2.3.4 ZTH-EU

ZTH-EU fra Belimo er et serviceverktøy for blant annet VAV-enheter. Den kan lese av aktuell luftmengde, settpunkt, spjeldvinkel, trykkfall over displayet, man kan endre på minimum og maksimale verdier, slik at spjeldbladet blir justert i henhold til settpunktet som

blir satt. Figur 2.3.4-1 og 2.3.4-2 nedenfor viser en ZTH-EU og hvordan den er koblet opp mot VAV-enheten.



Figur 2.3.4-1 (ZTH-EU Belimo)



Figur 2.3.4-2 (ZTH koblet opp spjeldmotor (hentet fra Micromatic))

3 Metode

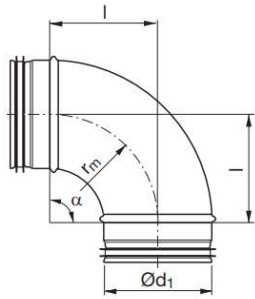
Målingsarbeidet som ble utført i denne rapporten deles opp i to faser. Begge fasene baserer seg på å finne ut unøyaktigheten til VAV-enheter i henhold til ulike avstander, rotasjoner og ulike luftmengdefordelinger på enheten. Fase 1 gikk ut på å finne unøyaktigheten til enheten etter 90 graders bend. Fase 2 gikk ut på å måle unøyaktigheten til VAV enhetene etter t-gren. I fase 1 ble det testet forskjellige hastigheter fra kanalvifte, i fase 2 gikk kanalvifta på fast turtall og ulike luftmengdefordelinger i gren og rett frem ble testet. Luftmengden for de ulike måleprinsippene har vært variert mellom $43 \text{ m}^3/\text{h}$ og $430 \text{ m}^3/\text{h}$ inne i kanalen, med endring av viftestyrke og justering på VAV spjeld.

3.1 Materialer og måleoppsett

Under målingene ble det benyttet mange instrumenter. Disse instrumentene er listet nedenfor i tabell 3.1-1, der står det hva slags funksjoner i tillegg til hvilken oppløselighet disse har. Det er også beskrevet hva slags benevning målingene har. Det ble brukt tre forskjellige BAAS målestasjoner og tre forskjellige Swema 3000md. Serie nummer på alle Swema3000md er lagt inn i tabellen 3.1-1, samt. serienummer og k-value for alle BAAS målestasjoner.

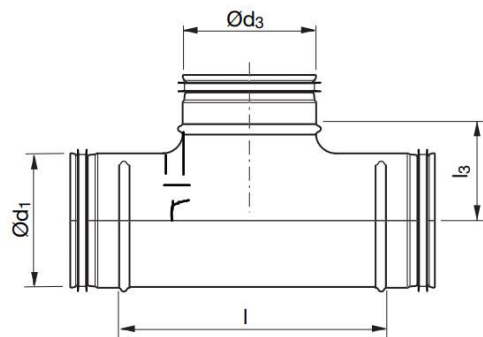
Det ble brukt samme Swema 3000md på samme BAAS målestasjon for alle målingene som ble tatt i Fase 1 og 2. For fase 2 ble det notert ned hvilket Swema måleinstrument som var koblet opp mot hvilken BAAS målestasjon, dette ble gjort for å få samme Swema instrument på samme BAAS målestasjon under hele forsøket.

Under forsøket ble det også notert ned størrelse på t-gren og 90 graders bend. Det ble brukt Ø160 sirkulære spirokanaler (vedlegg C), 90 graderes bend (BU) og t-gren (TCPU), produsent Lindab (vedlegg D og E). Figur 3.1-1 viser størrelse på 90 graderes bend som ble brukt i prosjektet. Dette er viktig å bemerke, da størrelse har stor påvirkning på trykket i kanalen.



Figur 3.1-1 ($\text{Ød}_1 = 16\text{cm}$, $l = 16\text{cm}$, $r_m = 1 * \text{Ød}$ (vedlegg D))

Samme gjelder for t-gren, størrelse på t-gren ser vi under i figur 3.1-2. Her er det også viktig å notere ned størrelse på r som er tegnet inni i figur. Størrelse på « r » påvirker trykket som blir målt i grenen betydelig, jo større « r » er jo lavere trykk blir det. Størrelsen på « r » er ikke lagt til i produktdatablad (Vedlegg E), denne ble målt selv med tommestokk (figur 3.1-3).



Figur 3.1-2 ($\text{Ød}_1 = 16\text{ cm}$, $\text{Ød}_3 = 16\text{ cm}$, $l = 209\text{mm}$, $l_3 = 105\text{mm}$ og $r = 2\text{ cm}$ (Vedlegg E))



Figur 3.1-3 (størrelse på $r=2\text{cm}$)

Instrumenter	Måler	Enhet	Oppløselighet	Produsent	Serie nummer
Swema 3000md	Trykk	Pa	0,1	Swema	S/N 676039
Swema 3000md	Trykk	Pa	0,1	Swema	S/N 675879
Swema 3000md	Trykk	Pa	0,1	Swema	S/N 702159
Leica	Avstand	M	-	Leica	
TES-1363 Humidity and temperature meter	Temperatur og fuktighet	°C og %	-	TES	010707136
Tommestokk	Avstand	M	-	-	-
ZTH EU	Luftmengde	m ³ /h	-	Belimo	
BAAS målestasjon	Trykk	Pa	+/- 4%	BAAS	MSL-G/E (k-value 0,62)
BAAS målestasjon	Trykk	Pa	+/- 4%	BAAS	MSL-G/E (k-value 0,62)
BAAS målestasjon	Trykk	Pa	+/- 4%	BAAS	MSL-G/E (k-value 0,62)

Tabell 3.1-1 (utstyrsliste)

3.2 Eksperimental design

Dette kapitelet tar for seg hvordan testoppsettet så ut for de to ulike fasene, samt hvilke produkter som ble brukt under forsøket.

3.2.1 Fase 1

Selv hensikten med denne fasen er å teste ut nøyaktigheten til ulike VAV-måleprinsipper montert i bend. Under denne fasen ble målenøyaktigheten ved ulike avstander fra bend (0 cm, 16 cm, 48 cm, 80 cm og 160 cm) og ulik rotasjon for VAV-enhetene testet. I tillegg ble ulike lufthastigheter fra kanalvifte testet. Dette ble gjort ved hjelp av en egendefinert ventilasjonskanal.

I denne fasen ble spjeldbladet på VAV-enheten satt til 100% åpen, dette ble gjort for å se målenøyaktigheten når vi ikke har strupt spjeldblad.

Egendefinert ventilasjonskanal:

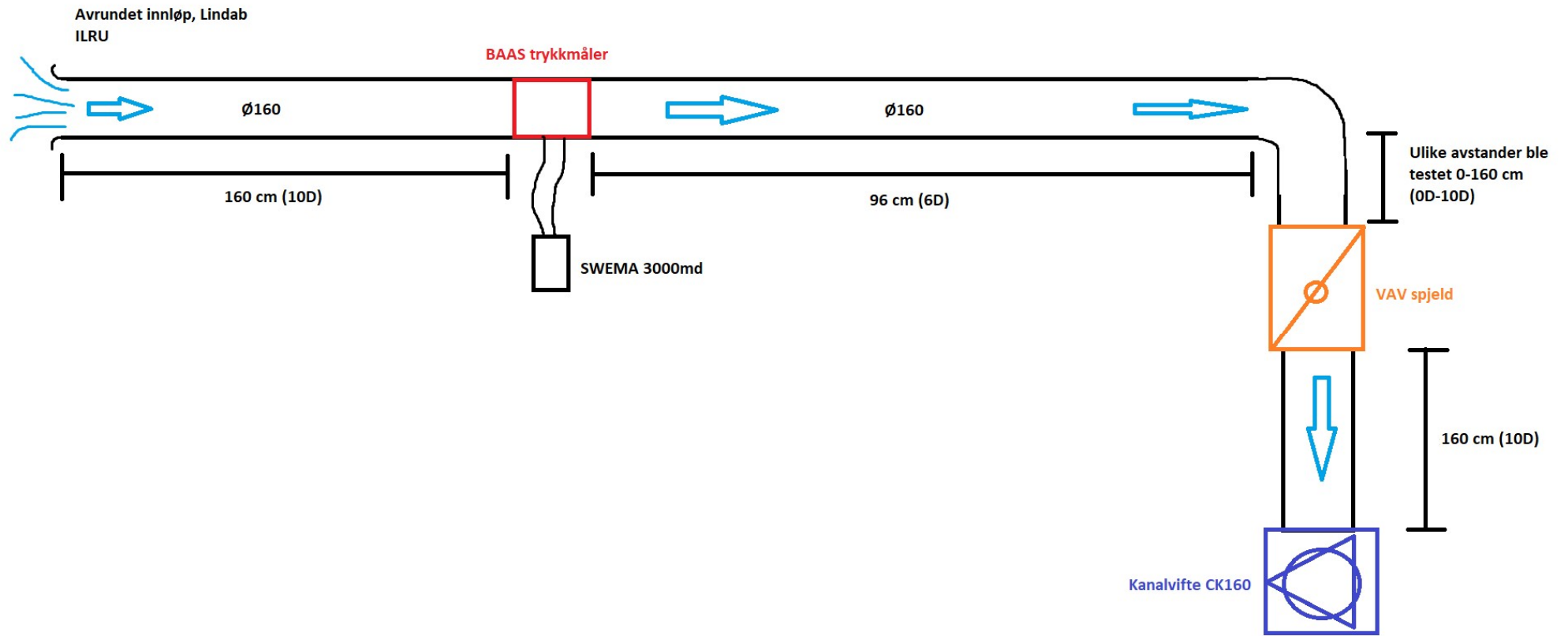
Ventilasjonskanalen bestod hovedsakelig av fire forskjellige deler: vifte, avrundet innløp (vedlegg F), VAV spjeld og BAAS trykkmåler. Viften er en modell CK160 med hastighetsregulering, hvor produsent er Ostberg (mer informasjon om viften kan dere finne i vedlegg G). BAAS målestasjon er en modell MSL-G. Riggoppsettet for fase 1 er vist i figur 3.2.1-1, hvor alle komponentene er lagt inn og avstand de har til hverandre er også notert.

I denne fasen var det fint mulig å bruke CK vifta som avtrekk, og la vifta trekke inn luft gjennom kanalen. Dette var til hjelp da det er med på å minimere turbulens som oppstår i kanalen. BAAS målestasjon ble plassert før VAV-spjeldet, dette var for å unngå turbulens som kunne skapes av spjeldbladet på VAV-enheten. Det ble brukt avrundet innløp der lufta blir dratt inn til kanalen, denne blir brukt for å redusere trykket som oppstår i kanalen.

I denne fasen ble det tatt 45 målinger per VAV-enhet, 3 ulike hastigheter, 3 rotasjoner og 5 avstander fra bend ble målt. Hastigheten ble styrt av regulatoren som var koblet opp mot CK vifte (figur 3.2.1-1). Regulatoren regulerer mellom verdiene 1 til 6, i dette forsøket bestemte vi å gå for trinn 1, 3 og 6, tanken bak dette var å teste ut V_{min} , V_{mid} og V_{maks} . Avstander som ble testet fra bend var følgende 0 cm, 16 cm, 48 cm, 80 cm og 160 cm, tanken bak disse lengdene er $0*d$, $1*d$, $3*d$, $5*d$ og $10*d$. Og med at det ble brukt Ø160 kanal hele veien gir det oss verdiene ovenfor, dette kommer fra at Ø160 kanal har diameter på 16cm, et eksempel på dette er $5*16=80$ cm. Rotasjoner ble delt opp i 3 forskjellige posisjoner, i tabell 3.2.1-1 er det vist hvordan de ulike posisjonen ser ut.



Figur 3.2.1-1 (hastighetsregulator koblet opp mot CK vifte)



Figur 3.2.1-1 (måleoppsett for fase 1)

Ultralyd		
Posisjon 1	Posisjon 2	Posisjon 3
		
Målekors		
Posisjon 1	Posisjon 2	Posisjon 3
		
Målesirkel		
Posisjon 1	Posisjon 2	Posisjon 3
		

Tabell 3.2.1-1 (rotasjonsposisjoner for fase 1)

3.2.2 Fase 2

Fase 2 har samme hensikt som fase 1 som er å teste nøyaktigheten til ulike VAV-måleprinsipper. I denne fasen blir VAV-enheten testet i t-gren. Forskjellige avstander fra t-gren, rotasjoner på VAV-enhet og ulike luftmengdefordelinger ble testet. For å kunne teste de ulike parameterne ble det laget en egendefinert ventilasjonskanal. I denne fasen ble det testet ut fire ulike måleprinsipper, målekors, målesirkel, trykk over spjeld og ultralyd.

Egendefinert ventilasjonskanal for fase 2:

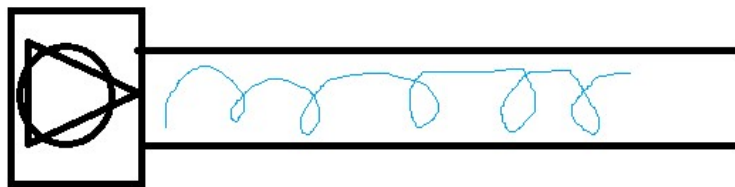
Ventilasjonskanalen i denne fasen bestod av tre BAAS målestasjoner, to stk VAV-enheter, egendefinert luftretter, CK160 kanalvifte og avrundet innløp. Alle målestasjonene er fra samme produsent og er en modell MSL-G. Riggoppsettet for fase 2 er vist i figur 3.2.2-1, hvor alle komponentene er lagt inn og avstand de har til hverandre er også notert.

I denne fasen ble CK vifta brukt som en tilluft og ikke avtrekk, derfor måtte vi ha en egendefinert luftretter som ble brukt for å rette ut lufta som blir blåst i kanalen. Kanalviften vil skape turbulens i kanalen, derfor må vi ha en luftretter for å unngå store forskjeller på trykket som leses over BAAS målestasjon. Figur 3.2.2-2 viser hvordan den egendefinerte luftretteren ser ut. Luftretteren har en lengde på 16 cm, dette for å kunne rette ut lufta mest mulig.



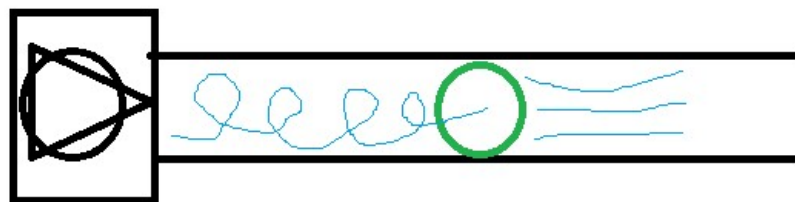
Figur 3.2.2-2 (egendefinert luftretter)

Figur 3.2.2-3 nedenfor viser oss hvordan luftprofilen ville sett ut, dersom vi ikke hadde benyttet oss av luftretter, kanalvifta er årsaken til at luftprofilen ser slik ut.



Figur 3.2.2-3 (luftprofil uten luftretter)

Figur 3.2.2-4 nedenfor viser oss hvordan luftprofilen vil se ut etter luftretter (grønne sirkelen er luftretteren)



Figur 3.2.2-4 (luftprofil før og etter luftretter)

Figurene ovenfor viser hvor stor betydning en luftretter vil ha på målt trykk over BAAS målestasjon. Rettet luftprofil vil gi mindre variasjoner på trykket som blir lest over BAAS målestasjon, mens uten en luftretter vil det være store variasjoner på trykk.

Serienummer på Swema 3000md ble notert ned, da det var viktig å bruke samme Swema på samme BAAS målestasjon for å få riktige verdier. Figur 3.2.2-1 for oppsett viser hvilken Swema som ble brukt på hvilken BAAS målestasjon, merket med Swema 1, BAAS 1 osv. Tabell 3.2.2-1 nedenfor viser serienummer på alle Swema måleenheter, samt. k faktor på de ulike BAAS målestasjoner.

Utstyr	Serienummer/k-faktor
Swema 1	S/N 676039
Swema 2	S/N 702159
Swema 3	S/N 675879
BAAS 1	0,61
BAAS 2	0,61
BAAS 3	0,61

Tabell 3.2.2-1 (serienummer og k-faktor)

Kanalvifta var satt på maksimal luftmengde under hele fase 2, og ble ikke regulert som den ble i fase 1. Avstander som ble testet fra t-gren var 0 cm, 16 cm, 48 cm, 80 cm og 160 cm, tanken bak dette var å teste ut 0^*d , 1^*d , 3^*d , 5^*d og 10^*d . Tre ulike luftmengdefordelinger i gren ble testet, disse var $43 \text{ m}^3/\text{h}$, $136 \text{ m}^3/\text{h}$ og $430 \text{ m}^3/\text{h}$. Tanken bak dette var å teste V_{\min} , V_{middels} , V_{\max} . $136 \text{ m}^3/\text{h}$ kommer fra at det ble gjort en logaritmisk halvering av V_{\min} og V_{\max} , $430/136 = 3,16$ og $136/43 = 3,16$. Tabell 3.2.2-2 nedenfor viser oss luftmengdefordelingene som ble testet i fase 2. Tanken bak disse luftmengdefordelingene er å teste ut nøyaktigheten til VAV-enheten i gren mellom 15 % og 85% luftmengde ved lave og høye hastigheter.

VAV- enhet i gren	VAV-enhet rett frem
$43 \text{ m}^3/\text{h}$	$65 \text{ m}^3/\text{h}$
$43 \text{ m}^3/\text{h}$	$244 \text{ m}^3/\text{h}$
$136 \text{ m}^3/\text{h}$	$45 \text{ m}^3/\text{h}$
$136 \text{ m}^3/\text{h}$	$204 \text{ m}^3/\text{h}$
$136 \text{ m}^3/\text{h}$	$408 \text{ m}^3/\text{h}$
$430 \text{ m}^3/\text{h}$	$76 \text{ m}^3/\text{h}$

Tabell 3.2.2-2 (luftmengdefordeling)

Det ble også brukt avrundet innløp under denne fasen. Avrundet innløp ble plassert på CK kanalvifta for å redusere trykket over vifta og kanalen (figur 3.2.2-5).



Figur 3.2.2-5 (avrundet innløp på kanalvifta)

Tre forskjellige rotasjoner ble testet på hver VAV- enhet. Posisjonen for de ulike VAV- enhetene er lagt ved i tabell 3.2.2-3. Hensikten bak å teste rotasjonene var å se om det kunne ha påvirkning på avviket som oppstår. I denne fasen ble også trykk over spjeld måleprinsippet testet to ganger. Første testene var med helt åpen iris spjeld på slutten av ventilasjonskanalen (figur 3.2.2-6 og 3.2.2-7). Test nummer to var med helt strupt iris spjeld (figur 3.2.2-8 og 3.2.2-9). Dette ble testet for å se hvor stor påvirkning dette ville ha på målenøyaktigheten, i og med at dette er en måleenhet som er påvirket av trykket over spjeldbladet. Stengt iris spjeld tvinger VAV-enheten til å åpne spjeldbladet mer, helt åpen iris spjeld fører til at VAV- enheten må strupe på spjeldbladet, for å få settpunktverdier. Iris spjeldet er fra Lindab, produktdatablad for denne er lagt ved i vedlegg H.



Figur 3.2.2-6 og 3.2.2-7 (helt åpen iris spjeld)

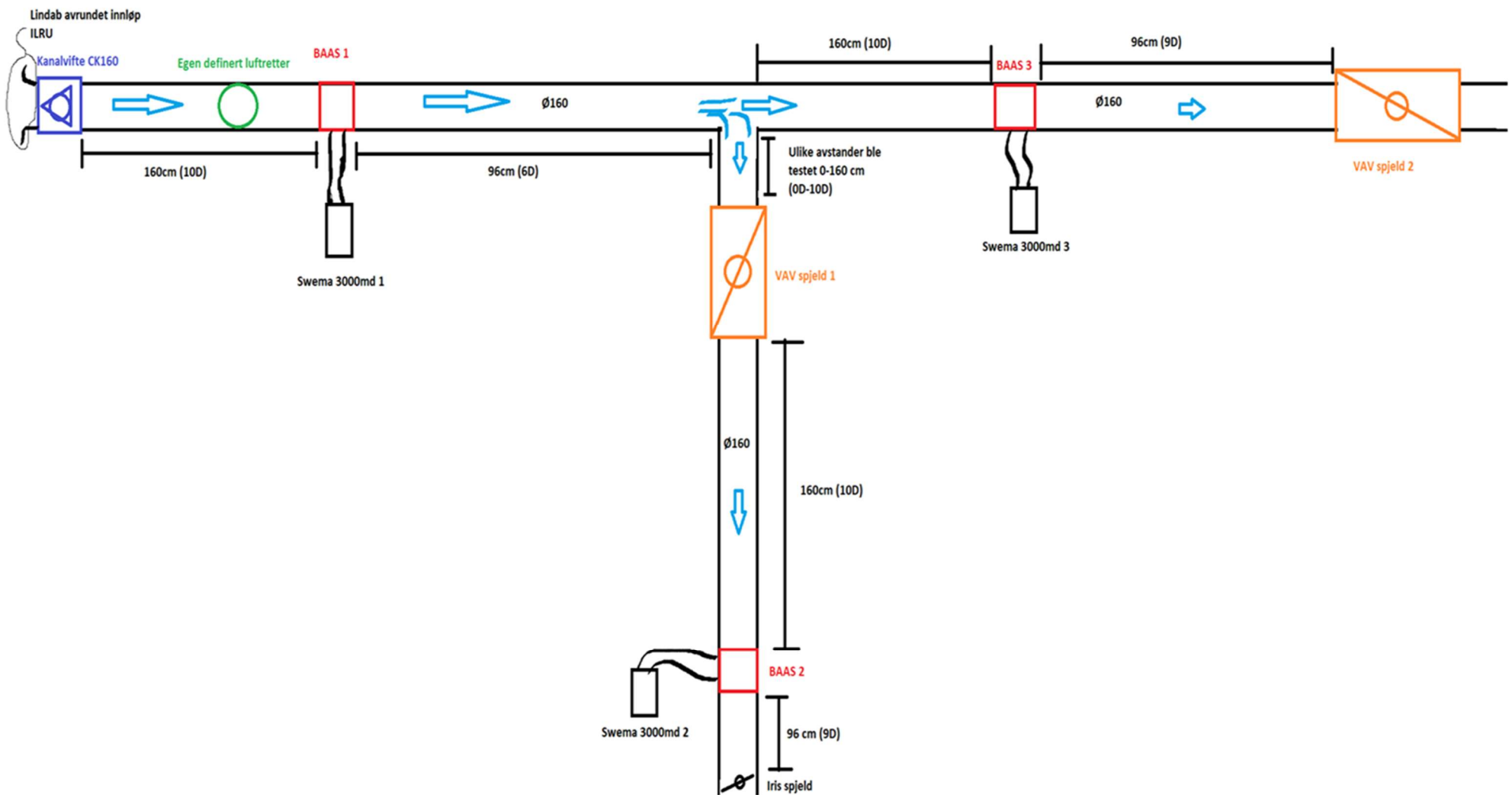


Figur 3.2.2-8 og 3.2.2-9 (helt strupt iris spjeld)

VAV-måleprinsipp	Posisjon 1	Posisjon 2	Posisjon 3
Ultralyd			
Målekors			

Målesirkel			
Trykk over spjeldblad			

Tabell 3.2.2-3(rotasjonsposisjoner for fase 2)



Figur 3.2.2-1 (måleoppsett fase 2)

3.3 Rutiner som ble fulgt

Siden luften i ventilasjonskanalen har samme temperatur som lufttemperaturen i rommet, ble dette isotermisk. Dermed kunne ventilasjonskanalen settes på bakken, men i og med at vi hadde VAV-spjeld som måtte roteres ganske ofte, ble det brukt oppheng. Ventilasjonskanalen ble montert på oppheng (figur 3.3-1). Det gjorde det mye enklere å måle og rotere VAV-spjeldet.



Figur 3.3.1 (oppfeng ble montert ned i bakken)

Målinger:

Målingene ble tatt ved hjelp av en BAAS trykkmåler, Swema 3000md, ZTH belimo og tilhørende app. Hele hensikten med denne rapporten var å teste målenøyaktigheten til VAV-spjeld og sammenligne resultatet mot en kalibrert BAAS trykkføler. Dette ble gjort ved å koble til en Swema 3000md i BAAS trykkføler. Deretter lese av målt Pa. Videre ble det brukt ZTH for å lese luftmengde på VAV-spjeld, der det var behov. På ultralyd ble resultatet lest fra applikasjon på mobil. For å kunne finne eksakt verdi for m³/h over BAAS trykkføler, ble følgende formel brukt;

$$Q \text{ [m}^3\text{/h]} \approx 43.335159 \times \sqrt{(\rho/1.2)} \times (\Delta p)^{0.4976289}$$

For å finne atmosfærisk trykk (ρ) trenger vi å finne ut lufttrykk, det gjør vi ved å bruke Norsk klimaservicesenter (Norsk Klimaservicesenter). Vi velger tidsoppløsning på døgn, deretter velger vi «værelement» som lufttrykk. Stasjon settes som Oslo-Blindern (SN187000), da det er nærmeste stasjonen til der målingene ble utført (Drammen). Etter at tidspunkt også er valgt vil vi få frem tabeller som gir oss lufttrykket. Deretter må vi finne lufttemperatur og luftfuktighet, dette ble gjort med en TES måler (figur 3.3-2). Etter at disse tre verdiene er

funnet bruker vi Excel arket VBA makro som er designet av Schild (2020) eller ved å bruke formel 3 som er lagt inn i kapittel 2.3.3, og finner ut av atmosfærisk trykk. Δp leser vi av Swema 3000md som er koblet til BAAS målestasjon (figur 3.3-3). Vi setter Swema 3000md på AS (Auto sampling) modus i menyen, og lar den måle i 30 til 60 sekunder for å gi en gjennomsnittlig verdi, deretter leser vi av «Pa average» fra displayet.



Figur 3.3-3(Swema koblet mot BAAS)

Temperatur og luftfuktighet ble målt annenhver time, slik at vi får frem riktige verdier når vi skal bruke formel 3 i kapittel 2.3.3. Dette er nødvendig om man ønsker å få konkrete målinger. Temperatur og fuktighet ble målt av TES-1363 (figur 3.3-2)



Figur 3.3-2 (temperatur og luftfuktighet måler)

4. Resultater

Dette kapittelet blir delt i to underkapitler, der resultatene for hver fase skal undersøkes individuelt.

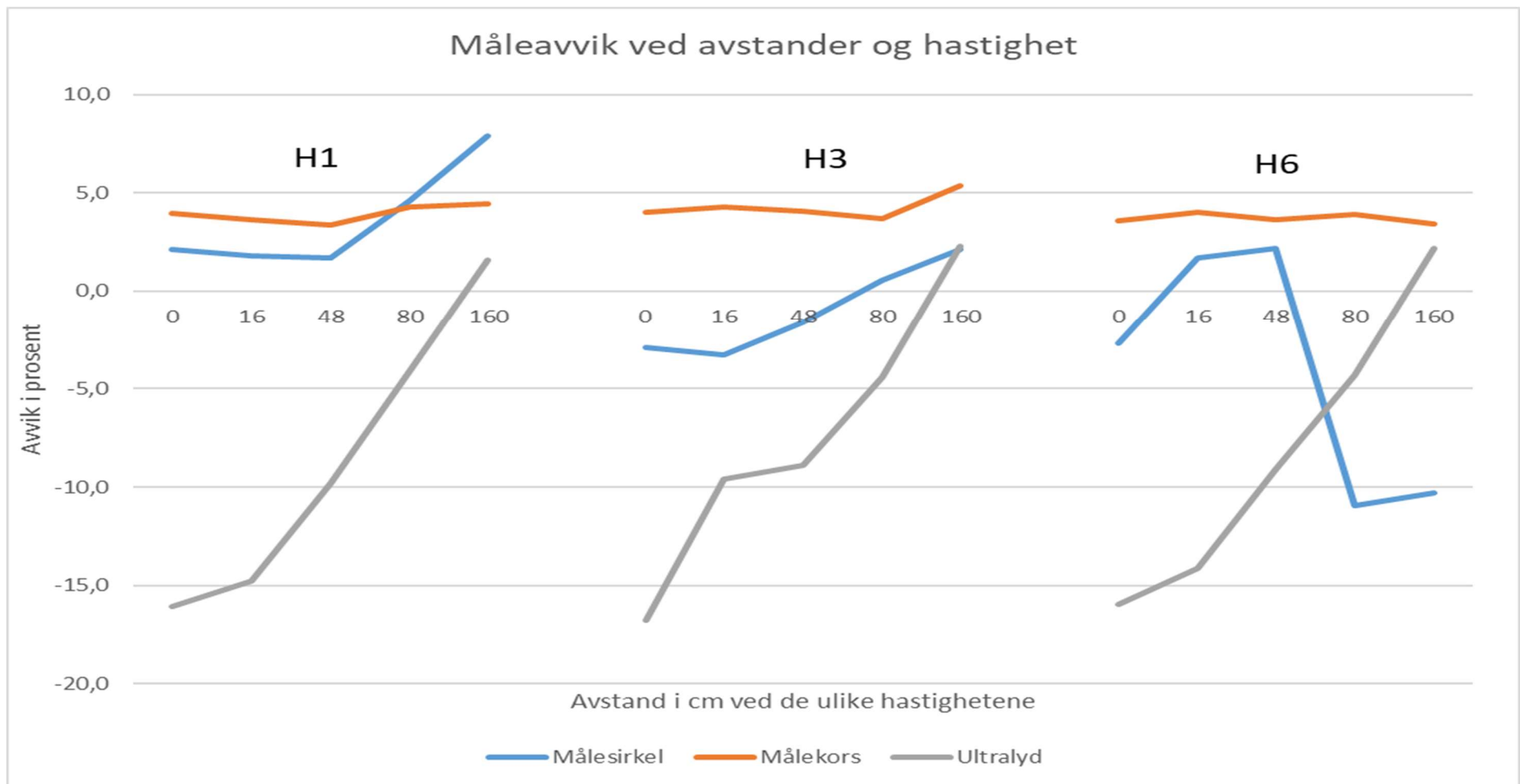
4.1 Resultater for fase 1

Figuren nedenfor (figur 4.1-1) viser resultatene for avvik i prosent, i denne grafen ble det tatt gjennomsnittsverdi av rotasjonene for hver avstand. H1, H3 og H6 er en forkortelse på hastighet 1, hastighet 3 og hastighet 6. Vi ser klart og tydelig at det er forskjell på de VAV-måleenhetene når det kommer til avvik avhengig av avstand fra bend.

Tabell 4.1-1 viser oss verdiene som er i figur 4.1-1. Rødfarge indikerer at VAV-enheten har lest for høy luftmengde sammenlignet med BAAS målestasjonen. Blåfarge indikerer på at VAV-enheten har lest lavere luftmengde enn det som ble lest over BAAS målestasjon. Hvit farge indikerer på at avviket er nærmere 0%. I kapittel 3 er det presistert hvordan de ulike vinkel posisjonene ser ut.

Ved hjelp av figur 4.1-1 ser vi at alle VAV-enhetene oppfører seg ulikt og at det er store forskjeller for hver VAV-enhet. Blant annet ser vi at målekors har nesten en helt lineær linje, og er lite påvirket av hastighet og avstand. Ultralyd er også lite påvirket av hastighet, men er betydelig påvirket av avstand fra bend. Vi ser at den har stort avvik helt frem til 80 cm (5*diameter), fra og med 80cm har den relativ lite avvik.

Målesirkel oppfører seg helt annerledes enn målekors og ultralyd. Ved hastighet 1 ser vi at den har veldig lite avvik frem til 48 cm, fra 48cm frem til 160cm ser vi at avviket øker betydelig. Ved hastighet 3 oppfører den seg helt annerledes enn hva den gjorde ved hastighet 1, her ser vi at avviket er minst ved 80cm. Hastighet 6 er helt unik, vi ser at avviket er minst ved 16cm, avviket øker med avstanden.



Figur 4.1-1 (Måleavvik ved avstander og hastigheter)

Avstand i cm	Avstand i D	Hasighetsnivå	Målesirkel	Målekors	Ultralyd
0	0	1	2,1	4,0	-16,1
16	1	1	1,8	3,6	-14,8
48	3	1	1,7	3,4	-9,8
80	5	1	4,6	4,3	-4,1
160	10	1	7,9	4,5	1,6
0	0	3	-2,9	4,0	-16,8
16	1	3	-3,3	4,3	-9,6
48	3	3	-1,6	4,1	-8,9
80	5	3	0,6	3,7	-4,4
160	10	3	2,1	5,4	2,3
0	0	6	-2,7	3,6	-16,0
16	1	6	1,7	4,0	-14,1
48	3	6	2,2	3,7	-9,1
80	5	6	-10,9	3,9	-4,3
160	10	6	-10,3	3,4	2,2

Tabell 4.1-1 (tabell for figur 4.1-1)

Tabellene (4.1-2 til 4.1-6) nedenfor viser oss verdiene for ulike rotasjoner og luftmengdefordelinger etter bend (0, 16, 48, 80 ,160cm). Rødfarge indikerer at VAV-enheten har høyere luftmengdeverdi sammenlignet med BAAS målestasjon. Blåfarge indikerer på at VAV-enheten har lest lavere luftmengde enn det som ble lest over BAAS målestasjon. Hvitfarge indikerer på at avviket er nærmere 0%. I kapittel 3 er det presisert hvordan de ulike vinkel posisjonene ser ut.

Avstand i cm	Avstand i D	Hasighetsnivå	Posisjon for vinkel	Målesirkel	Målekors	Ultralyd
0cm	0*D	1	1	2,0	3,0	-7,8
0cm	0*D	1	2	-2,6	4,7	-16,3
0cm	0*D	1	3	-1,8	4,2	-24,2
0cm	0*D	3	1	0,6	3,1	-7,2
0cm	0*D	3	2	-4,1	5,9	-16,1
0cm	0*D	3	3	-3,9	3,0	-27,1
0cm	0*D	6	1	-2,7	2,0	-6,2
0cm	0*D	6	2	-2,3	5,4	-15,8
0cm	0*D	6	3	-3,1	3,3	-25,8

Tabell 4.1-2 (avvik 0 cm etter bend)

Avstand i cm	Avstand i D	Hasighetsnivå	Posisjon for vinkel	Målesirkel	Målekors	Ultralyd
16cm	1*D	1	1	-0,2	1,4	-9,2
16cm	1*D	1	2	2,2	4,6	-11,9
16cm	1*D	1	3	-2,9	4,9	-23,2
16cm	1*D	3	1	-0,8	3,9	-7,8
16cm	1*D	3	2	-4,8	4,8	-11,8
16cm	1*D	3	3	-4,2	4,1	-9,2
16cm	1*D	6	1	1,6	3,1	-7,3
16cm	1*D	6	2	2,2	5,2	-11,9
16cm	1*D	6	3	1,2	3,7	-23,1

Tabell 4.1-3 (avvik 16 cm etter bend)

Avstand i cm	Avstand i D	Hasighetsnivå	Posisjon for vinkel	Målesirkel	Målekors	Ultralyd
48cm	3*D	1	1	2,2	2,8	-5,0
48cm	3*D	1	2	2,0	3,3	-10,8
48cm	3*D	1	3	0,8	4,0	-13,6
48cm	3*D	3	1	-1,0	4,0	-12,8
48cm	3*D	3	2	-0,9	2,8	-8,3
48cm	3*D	3	3	-2,9	5,4	-5,6
48cm	3*D	6	1	1,9	3,1	-5,3
48cm	3*D	6	2	2,0	3,5	-9,3
48cm	3*D	6	3	2,8	4,3	-12,6

Tabell 4.1-4 (avvik 48 cm etter bend)

Avstand i cm	Avstand i D	Hasighetsnivå	Posisjon for vinkel	Målesirkel	Målekors	Ultralyd
80cm	5*D	1	1	4,8	3,9	-6,7
80cm	5*D	1	2	5,0	4,0	-4,5
80cm	5*D	1	3	3,9	4,9	-1,1
80cm	5*D	3	1	1,0	3,8	-8,9
80cm	5*D	3	2	0,1	4,0	-4,4
80cm	5*D	3	3	0,5	3,4	0,0
80cm	5*D	6	1	-10,4	3,3	-7,9
80cm	5*D	6	2	-11,8	4,2	-5,1
80cm	5*D	6	3	-10,5	4,3	-0,1

Tabell 4.1-5 (avvik 80 cm etter bend)

Avstand i cm	Avstand i D	Hasighetsnivå	Posisjon for vinkel	Målesirkel	Målekors	Ultralyd
160cm	10*D	1	1	7,3	4,3	1,1
160cm	10*D	1	2	8,7	4,8	1,5
160cm	10*D	1	3	7,6	4,3	2,2
160cm	10*D	3	1	2,8	6,5	2,2
160cm	10*D	3	2	1,5	4,9	2,5
160cm	10*D	3	3	2,1	4,7	2,2
160cm	10*D	6	1	-9,7	3,2	1,9
160cm	10*D	6	2	-10,1	4,5	2,4
160cm	10*D	6	3	-11,2	2,6	2,2

Tabell 4.1-6 (avvik 160 cm etter bend)

Ved å se på tabellene ovenfor (4.1-2 til 4.1-6), ser vi at rotasjon har betydning jo nærmere bend vi er. Vi ser spesielt at ultralyd er kraftig påvirket av rotasjon, påvirkningen av rotasjon blir betydelig mindre jo lengre unna bend vi er. Ved 160 cm ser vi at den er svært lite preget av rotasjon. Helheltlig virker det som at posisjon 3 for rotasjon har størst avvik. Hastigheten har veldig liten påvirkning på avviket som oppstår under de ulike rotasjonene.

Målekors er betraktelig lite påvirket av rotasjon, hastighet og avstand fra bend. Den har omrent like stor avvik ved alle avstander og rotasjoner ved de 3 forskjellige hastighetene.

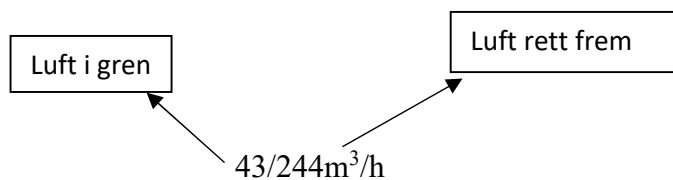
Målesirkel er også relativt lite påvirket av rotasjon, men den er i stor grad påvirket av hastighet. Vi ser at det er store forskjeller på avvik ved de ulike hastighetene. Den ser ut til å ha svært lite avvik ved hastighet 3, men stor avvik ved hastighet 1 og 6. Dette tyder på at den er mest nøyaktig ved V_{mid} og at den har størst avvik ved V_{maks} og V_{min} .

I vedlegg H er det lagt ved tabeller som viser tidspunkt for målingene, måle temperatur og fuktighet. Avvik i m^3/h og % er også beskrevet i tabellene.

4.2 Resultater for fase 2

Figuren nedenfor (figur 4.2-1) viser resultatene for avvik i prosent, i denne grafen ble det tatt gjennomsnitsverdi av rotasjonene for hvert avstand. Vi ser klart og tydelig at det VAV-måleenehtene er svært avhengig av god avstand fra t-gren, vi ser at minste avstand fra t-gren ikke burde være under 5*diameter. Vi ser i tillegg at luftmengdefordelingen har også påvirkning på målt avvik, jo høyere prosentandel i gren, desto lavere avvik. Tabell 4.2-1 viser oss verdiene som er i figur 4.2-1. Rødfarge indikerer at VAV-enheten har lest for høy luftmengde sammenlignet med BAAS målestasjonen. Blåfarge indikerer på at VAV-enheten har lest lavere luftmengde enn det som ble lest over BAAS målestasjonen. Hvitfarge indikerer på at avviket er nærmere 0%. I kapittel 3 er det presistert hvordan de ulike vinkel posisjonene ser ut.

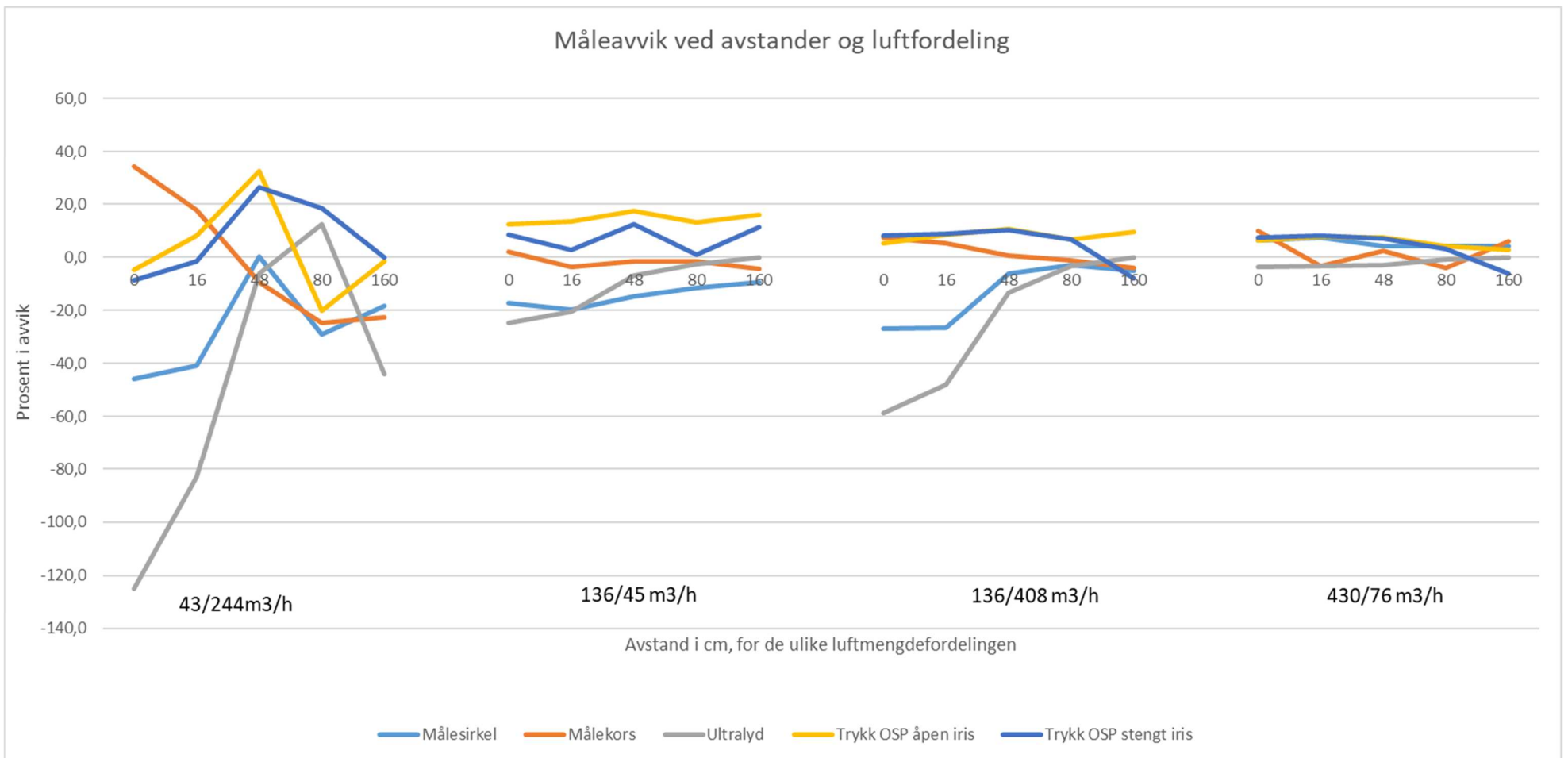
Figur 4.2-2 nedenfor viser hva som menes med de ulike luftmengdene, første tallet er luftemengden som er i gren, andre tallet er det som går rett frem.



Figur 4.2-2 (luftmengdefordeling)

Vi ser at ultralyd er den som har størst avvik når vi ligger veldig nærmre gren 0-1*diameter, men samtidig ser vi at det er måleprinsippet som har minst avvik ved 5*diameter etter t-gren. Ved 10*diameter har ultralyd omrent 0% avvik. Ved 430/76 m³/h ser vi at alle VAV-enhetene har betydelig mindre avvik, dette skyldes hovedsakelig at 85% av luftmengdefordelingene er i gren. Dette indikerer på at luftmengdefordeling har også stor betydning på nøyaktigheten.

Trykk over spjelbald, vil bli referert til som Trykk OSP åpen iris og Trykk OSP stengt iris.



Figur 4.2-1 (måleavvik ved avstander og luftfordeling)

Avstand i cm	Avstand i D	Luftfordeling	Målesirkel	Målekors	Ultralyd	Trykk OSP åpen iris	Trykk OSP stengt iris
0	0*D	43/244	-45,9	34,3	-124,8	-4,7	-8,5
16	1*D	43/244	-40,8	17,8	-82,9	8,0	-1,6
48	3*D	43/244	0,2	-9,3	-6,2	32,6	26,4
80	5*D	43/244	-29,1	-24,8	12,4	-20,2	18,6
160	10*D	43/244	-18,3	-22,5	-44,2	-1,6	0,0
0	0*D	136/45	-17,2	2,1	-24,8	12,5	8,3
16	1*D	136/45	-19,7	-3,8	-20,3	13,5	2,7
48	3*D	136/45	-14,7	-1,5	-6,9	17,4	12,5
80	5*D	136/45	-11,4	-1,5	-2,5	13,0	1,0
160	10*D	136/45	-9,4	-4,4	0,0	15,9	11,5
0	0*D	136/408	-27,0	7,3	-58,6	5,1	8,2
16	1*D	136/408	-26,5	5,1	-48,0	8,3	8,7
48	3*D	136/408	-6,3	0,5	-13,2	10,5	10,4
80	5*D	136/408	-3,0	-1,2	-3,2	6,6	6,5
160	10*D	136/408	-5,1	-3,9	0,0	9,6	-8,0
0	0*D	430/76	6,5	9,8	-3,8	6,2	7,3
16	1*D	430/76	7,5	-3,3	-3,3	7,9	8,3
48	3*D	430/76	4,1	2,4	-2,9	7,4	7,2
80	5*D	430/76	4,1	-4,0	-0,8	4,3	3,3
160	10*D	430/76	4,2	6,0	0,0	2,6	-6,0

Tabell 4.2-1 (tabell for figur 4.2-1)

Tabellene (4.2-2 til 4.2-6) nedenfor viser oss verdiene for ulike rotasjoner og luftmengdefordelinger etter t-gren (0, 16, 48, 80 ,160cm). Rødfarge indikerer at VAV-enheten har lest for høy luftmengde sammenlignet med BAAS målestasjonen. Blåfarge indikerer på at VAV-enheten har lest lavere luftmengde enn det som ble lest over BAAS målestasjonen. Hvitfarge indikerer på at avviket er nærmere 0%. I kapittel 3 er det presisert hvordan de ulike vinkel posisjon ser ut.

Det ble tatt flere målinger for målesirkel, målekors og ultralyd, disse er med i tabellene nedenfor (4.2-2 til 4.2-6), men ikke med i tabell 4.2-1 og figur 4.2.1. Grunnen til dette er for å sammenligne alle måleprinsippene mot hverandre. Vi ser at avviket er mindre ved 43/65 m³/h enn den er ved 43/244 m³/h, samme prinsipp gjelder for 136/45 m³/h, 136/204 m³/h og 136/408 m³/h, vi ser at jo mindre prosent andel av lufta til gren desto høyere avvik. Dette gjelder spesielt ved 0 og 16 cm etter gren.

Avstand	Q_gren, m ³ /h	Q_rett, m ³ /h	posisjon for vinkel	Målesirkel	Målekors	Ultralyd	Trykk OSP åpen iris	Trykk OSP stengt iris
0 cm	43	65	1	-30,0	1,6	-60,5		
"	"	65	2	-15,0	2,3	-41,9		
"	"	65	3	-37,3	3,7	-34,9		
"	"	244	1	-40,5	34,4	-172,1	-9,3	-16,3
"	"	244	2	-42,6	34,4	-116,3	-7,0	-9,3
"	"	244	3	-54,6	34,2	-86,0	2,3	0,0
"	136	45	1	-17,6	2,6	-32,4	9,6	5,9
"	"	45	2	-17,4	0,7	-18,4	14,0	8,1
"	"	45	3	-16,7	2,9	-23,5	14,0	11,0
"	"	204	1	-17,9	8,5	-53,7		
"	"	204	2	-20,2	4,2	-41,2		
"	"	204	3	-13,3	8,8	-44,9		
"	"	408	1	-10,3	10,3	-69,1	3,7	2,9
"	"	408	2	-33,8	5,9	-56,6	8,8	8,6
"	"	408	3	-36,8	5,7	-50,0	2,9	13,0
"	430	76	1	3,8	7,4	-4,7	5,3	4,5
"	"	76	2	8,1	11,4	-2,3	13,3	14,3
"	"	76	3	7,7	10,5	-4,4	0,0	3,0

Tabell 4.2-2 (avvik 0 cm etter gren)

Avstand	Q_gren, m³/h	Q_rett, m³/h	posisjon for vinkel	Målesirkel	Målekors	Ultralyd	Trykk OSP åpen iris	Trykk OSP stengt iris
16 cm	43	65	1	-46,7	0,6	-48,8		
"	"	65	2	-43,7	5,8	-32,6		
"	"	65	3	-44,2	4,2	-23,3		
"	"	244	1	-45,1	22,1	-130,2	4,7	-4,7
"	"	244	2	-47,0	17,7	-14,0	7,0	-2,3
"	"	244	3	-30,2	13,6	-104,7	11,6	2,3
"	136	45	1	-27,9	3,2	-29,4	12,5	2,2
"	"	45	2	-15,9	4,4	-13,2	14,0	3,7
"	"	45	3	-15,4	3,7	-18,4	14,0	2,2
"	"	204	1	-16,5	9,1	-45,6		
"	"	204	2	-19,2	6,5	-26,5		
"	"	204	3	-16,3	8,0	-38,2		
"	"	408	1	-19,4	13,8	-59,6	5,1	4,7
"	"	408	2	-29,2	10,1	-38,2	12,5	13,5
"	"	408	3	-30,9	11,8	-46,3	7,4	8,0
"	430	76	1		3,7	5,6	-4,9	4,0
"	"	76	2		9,8	7,4	-1,6	10,7
"	"	76	3		8,8	7,9	-3,5	9,1
								8,9

Tabell 4.2-3 (avvik 16 cm etter gren)

Avstand	Q_gren, m³/h	Q_rett, m³/h	posisjon for vinkel	Målesirkel	Målekors	Ultralyd	Trykk OSP åpen iris	Trykk OSP stengt iris
48 cm	43	65	1	-3,7	-9,3	-18,6		
"	"	65	2	11,8	-7,0	0,0		
"	"	65	3	4,7	-9,3	0,0		
"	"	244	1	-15,1	-14,0	-7,0	27,9	18,6
"	"	244	2	-8,8	-7,0	0,0	30,2	27,9
"	"	244	3	7,0	-7,0	-11,6	39,5	32,6
"	136	45	1	-14,0	-1,5	-11,0	17,6	8,8
"	"	45	2	-14,9	-0,7	-5,9	16,2	13,2
"	"	45	3	-15,1	-2,2	-3,7	18,4	15,4
"	"	204	1	-12,4	0,0	-12,5		
"	"	204	2	-13,7	-0,7	-8,1		
"	"	204	3	-12,6	0,0	-5,9		
"	"	408	1	2,9	0,7	-15,4	11,8	12,0
"	"	408	2	-7,7	0,0	-9,6	10,3	11,1
"	"	408	3	-14,1	0,7	-14,7	9,6	8,0
"	430	76	1	2,9	7,1	-3,7	7,0	6,4
"	"	76	2	4,9	7,7	-1,2	7,7	7,6
"	"	76	3	4,6	7,7	-3,7	7,7	7,5

Tabell 4.2-4 (avvik 48 cm etter gren)

Avstand	Q_gren, m ³ /h	Q_rett, m ³ /h	posisjon for vinkel
80 cm	43	65	1
"	"	65	2
"	"	65	3
"	"	244	1
"	"	244	2
"	"	244	3
"	136	45	1
"	"	45	2
"	"	45	3
"	"	204	1
"	"	204	2
"	"	204	3
"	"	408	1
"	"	408	2
"	"	408	3
"	430	76	1
"	"	76	2
"	"	76	3

Målesirkel	Målekors	Ultralyd	Trykk OSP åpen iris	Trykk OSP stengt iris
-22,3	-20,9	20,9		
-23,3	-25,6	0,0		
-32,1	-20,9	16,3		
-34,9	-20,9	16,3	-20,9	-18,6
-26,3	-23,3	11,6	-18,6	-18,6
-26,0	-30,2	9,3	-20,9	-18,6
-12,2	-1,5	-2,2	12,5	1,5
-12,3	-1,5	-2,2	-14,0	0,7
-14,2	-1,5	-2,9	12,5	0,7
-9,9	-2,2	-5,1		
-12,5	-2,2	-5,9		
-12,5	-2,2	-3,7		
-9,9	-0,7	-2,9	8,8	6,2
-3,7	0,7	-3,7	5,1	-6,4
4,6	2,2	-2,9	5,9	7,0
4,0	5,3	-2,3	4,0	3,2
3,8	3,7	-2,1	4,4	2,7
4,5	2,8	-2,1	4,7	4,0

Tabell 4.2-5 (avvik 80 cm etter gren)

Avstand	Q_gren, m ³ /h	Q_rett, m ³ /h	posisjon for vinkel
160 cm	43	65	1
"	"	65	2
"	"	65	3
"	"	244	1
"	"	244	2
"	"	244	3
"	136	45	1
"	"	45	2
"	"	45	3
"	"	204	1
"	"	204	2
"	"	204	3
"	"	408	1
"	"	408	2
"	"	408	3
"	430	76	1
"	"	76	2
"	"	76	3

Målesirkel	Målekors	Ultralyd	Trykk OSP åpen iris	Trykk OSP stengt iris
-23,3	-18,6	34,9		
-24,0	-25,6	55,8		
-30,2	-20,9	34,9		
-24,0	-18,6	44,2	-2,3	-2,3
-20,0	-20,9	44,2	-2,3	0,0
-10,9	-27,9	44,2	0,0	2,3
-9,2	-3,7	0,1	16,9	7,4
-9,6	-5,1	0,1	-14,7	11,8
-9,3	-4,4	0,0	16,2	15,4
-9,4	-3,7	0,0		
-9,9	-2,9	0,0		
-8,1	-2,2	0,0		
-9,6	-2,9	0,0	11,0	8,0
-2,9	-4,4	0,0	8,8	8,0
2,6	-4,4	0,0	8,8	8,0
3,8	5,3	0,0	4,0	6,0
4,5	6,0	0,0	4,0	6,0
4,3	6,7	0,0	4,7	6,0

Tabell 4.2-6 (avvik 160 cm etter gren)

Ved å se sammenligne alle tabellene ser vi klart og tydelig at rotasjon har stor betydning om avstand fra VAV-enhet er mindre enn 5*diameter.

Målesirkel ser ut til å være måleenheten med størst avvik helhetlig. Ved å se nærmere på tabell 4.2-1 ser vi at avviket ved lav lufthastighet ($43/244 \text{ m}^3/\text{h}$), er minst ved 48 cm etter gren, og at avviket øker igjen ved 80 og 160 cm fra gren. Ved høyere lufthastigheter ser vi at avviket blir mindre (nærmere 0) når avstanden øker. Målesirkel har også større avvik ved lave luftmengdefordelinger, og når den er nærmere gren.

Målekors er VAV-enheten som blir minst påvirket av rotasjon selv ved under 5*diameter. Dette skyldes at den måler med et målekors som måler lufthastigheten flere steder i VAV-enheten. Vi ser at målekors også skiller seg ut fra de andre måleenhetene, ut ifra tabell 4.2-1 ser vi at den har minst helhetlig måleavvik ved 48 cm fra gren. Vi ser også at det som gjaldt for målesirkel ved lav lufthastighet gjelder for målekors også.

Ultralyd er den måleenheten som blir mest påvirket av rotasjon, ved å se på tabell 4.2-2 til 4.2-5 ser vi at den er svært avhengig av rotasjon ved lav lufthastighet og luftmengdefordeling. Tabellene tyder på at Ultralyd har minst gjennomsnittlig avvik i posisjon 2, samtidig ser vi at jo mindre prosent andel av luft i gren jo høyere avvik. Tabell 4.2-6 viser oss at ultralyd har stort avvik ved lave lufthastigheter selv ved 10*diameter.

Trykk over spjeldblad er svært nøyaktig ved lav lufthastighet når vi er 160 cm fra gren (10^* diameter), vi ser at forskjellen mellom åpen iris spjeld og stengt iris spjeld ikke har så stor betydning helhetlig, men enkelte steder kan det være forskjell.

I vedlegg I er det lagt ved tabeller som viser tidspunkt for målinger, temperatur, fuktighet, spjeldvinkel, målt avvik i m^3/h og i %. I tabellene ser vi også trykket som ble målt over de ulike BAAS målestasjonene.

5 konklusjon

Bakgrunnen for denne rapporten var å teste ut nøyaktigheten til ulike VAV-enheter og sammenligne dette opp mot produktdatabladet. Vi har i denne rapporten sett om det produsentene sier om sitt eget produkt stemmer. Om produkt er forenlig med produktbeskrivelse.

I oppgaven har vi også sett nærmere på anbefalinger fra Sintef (Mysen & Schild, 2013, s.45), som sier anbefaler avstand på minst 5*diameter fra t-gren. 5*diameter betyr altså 5*kanalstørrelse i diameter, for eksempel vil en Ø160 kanal være $5 \cdot 16 = 80$ cm fra avgrenning eller bend. Sintef sier ingenting om rotasjon på VAV-enheten, vi vil se nærmere på om det har noe betydning eller ikke (Mysen & Schild, 2013, s.45),

Følgende konklusjoner kan tenkes ut ifra måleresultatene i kapittel 4

- Følgende faktorer påvirker målenøyaktigheten til VAV-enheter montert i gren/bend
 - Avstand, er én av hovedfaktorene til målt avvik etter gren/bend, ved å se på resultatene ser vi at det helhetlige avviket er betydelig mindre dersom vi holder oss minst 5*diameter unna gren og bend. Resultatene tyder også på at avviket er høyere for gren sammenlignet med bend.
 - Rotasjon, vi ser at ultralyd er definitivt det måleprisnippet som er mest påvirket av rotasjon både ved bend og gren. Rotasjon har lite påvirkning dersom vi holder oss minst 5*diameter unna avgrenning eller bend. Dersom vi er nærmere ser vi at rotasjon påvirker kraftig.
 - Hastighet, denne faktoren gjelder kun for bend i og med at den ble kun testet på bend. Vi ser at hastighet ikke påvirker nøyaktigheten til målekors og ultralyd, men at den påvirker målesirkel. Avviket til målesirkel øker når hastigheten øker ved 5*diameter, ved høy hastighet ser vi at 3*diameter er best.
 - Luftmengdefordeling, denne faktoren gjelder kun for gren, da den ble kun testet på den. Vi ser at høyere luftmengdefordeling i avgrenning reduserer avviket betydelig. Ved høy luftmengdefordeling ser vi at måleavviket er relativt nærmere 0 selv når VAV-enheten er plassert nærmere avgrenning. Vi ser at måleavviket er høyt når vi har lavehastigheter ($43 \text{ m}^3/\text{h}$) og lite luftmengdefordeling til gren.

Vi kan til slutt konkludere med at anbefalingen om å holde minst 5*diameter avstand fra gren ikke holder. Vi må se nærmere på det vi ønsker, ønsker vi nøyaktighet ved laveluftmengder og lavehastigheter for ultralyd, målekors og målesirkel ser vi at 3*diameter vil være det best mulige. Ønsker vi nøyaktighet for trykk over spjeld blad ved lavehastigheter ser vi at vi må holde oss 10*diameter unna avgrenning. Dersom vi ser bort ifra lavehastigheter og lite luftmengdefordeling i gren er 5*diameter avstand et bra settpunkt.

Sintef trenger ikke å si noe om rotasjon i og med at VAV-enhetene er relativt lite påvirket av rotasjon når de er plassert 5*diameter unna avgrenning og bend (Mysen & Schild, 2013, s.45). Vi ser også at det produsenten utgir om sine produkter stemmer ganske bra, dersom vi holder oss 5*diameter fra bend/gren, unngår lavehastigheter, og har høyluftmengdefordeling i gren. Sintef burde nevnt noe om avstand fra bend også, ved å se på resultatene ser vi at 5*diameter vil gi minst helhetlig avvik.

Kilder

BAAS component. (u.å.). *Målestasjoner* hentet 24.04.2023 fra

<https://www.baascomponent.no/produkter/luftmengdemaling/malestasjoner>

Maripuu M. (2009). Demand Controlled Ventilation (DCV) systems in commercial buildings.

Ph.D. Thesis, Chalmers University of Technology (Sweden)

Micromatic. (u.å.). hentet 27.04.2023 fra

<https://www.micromatic.no/produkt/programmeringsverktøy-micro-vav-belimo--100498?code=KO9903>

Mysen, M., & Schild, P. G. (2013). *Behovsstyrte ventilasjoner, DCV - krav og overlevering* (ISSN: 1894-1583). Oslo: SINTEF akademisk forlag.

(Norsk Klimaservicesenter)

[https://seklima.met.no/years/mean\(air_temperature%20P1Y\),max\(air_temperature%20P1Y\),best_estimate_sum\(precipitation_amount%20P1Y\)/custom_period/SN18701,SN18700,SN18703/nb/1980-01-01T00:00:00+01:00;2022-12-31T23:59:59+01:00](https://seklima.met.no/years/mean(air_temperature%20P1Y),max(air_temperature%20P1Y),best_estimate_sum(precipitation_amount%20P1Y)/custom_period/SN18701,SN18700,SN18703/nb/1980-01-01T00:00:00+01:00;2022-12-31T23:59:59+01:00)

Rahnama S., Afshari A., Bergsøe N. C. and Sadrizadeh S. 2017. *Experimental study of the pressure reset control strategy for energy-efficient fan operation. Energy and Buildings.* Vol. 139 s 72-77

Rahnama, S., Afshari, A., Hultmark, G., & Ivarsson, N. (2017). *A new technology for measuring low airflow rate with ultrasonic beam in mechanical ventilation systems* (ISSB: 978-83-7947-232-1) Aalborg University. Copenhagen: Danish building research institute.

Schild, P. G. (2020, 2. mai). *Schildcode/FluidProps*. Github.

<https://github.com/SchildCode/FluidProps>



BAAS® Measuring Station

Measuring stations makes it possible to measure the air velocity without the use of pilot tube and the differential pressure across the entire cross section.

BAAS' measuring stations are successfully tested at NBI (Norges Byggforskningsinstitutt) and Howden-Variax laboratory in Denmark. The test shows that the measuring stations have a working tolerance within +/- 4%, if they are installed according to procedures.

Application: Wherever measuring of air speed or volume is necessary.

Sizes:

- Max size circular stations: Up to 2500mm.
- Max. size rectangular stations: Up to 2400mm.

Models:

- MSH-S = Flanged type - Duct class A.
- MSL-S = Nipple type - Duct class C/B.
- MSL-S/F = Nipple type - Duct class F.
- MSL-G = Nipple type - Duct class E.



Circular Measuring Station, Class A.

SPECIFICATIONS

Casing: Class A = 3 mm in AISI 316L, flanged type.
Class C/B/F = 0,8 to 1,5 mm in AISI 316L, nipple type.
Class E = 0,5 to 0,9 mm, nipple type.

Flow cross: Sea water resistant aluminium type AL6082 T6-K.

Internal tube: Class A = OD 6mm stainless steel, type AISI 316L.
Class C/B/F = OD 6mm stainless steel, type AISI 316L.
Class E = OD 6mm in plastic.

Fittings: Standard with Swagelok type bulkhead union OD6 mm in stainless steel (AISI 316L) for class A/C, and type NABLO (NI.PL brass) for class E.

Options:

- Quick connector for easy hook up.
- Extended air measuring points insulated ductwork.
- Extended transmitter-bracket for insulated ductwork.
- Tubing and fittings in various types, dimensions and materials.

Vedlegg B



ISO 5167-2:2003 calibration of differential pressure air flow rate measurement devices

Instrument name/no. OsloMet ø160 mm BAAS målekors

Calibration conducted by: PGS

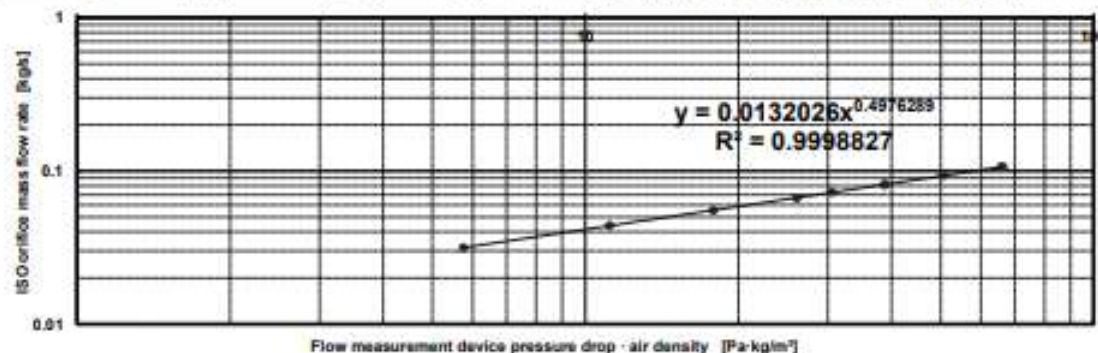
Date: 7.mai.2019

Manometer for ISO orifice Furness Controls FC0510, sn 941060, SINTEF

Manometer for test device Furness Controls PPC500, sn 0202012, SINTEF

Dry bulb air temperature	21.1 [°C]			
Relative humidity	24.2 [%]			
Barometric pressure	994 [mbar]		Humidity ratio	0.00381347 [kg/kg]
Duct internal diameter (D)	152 [mm]		Air density	1.17409478 [kg/m³]
ISO orifice tappings type	Corner [-]		Dyn. viscosity	1.7774E-05 [Pa·m]

ISO orifice diameter (d) [mm]	ISO-orifice Ap. pressure (Δp) [Pa]	Calibrated pressure (Δp) [Pa]	Test device (Ap) pressure (Δp) [Pa]	Calibrated flowrate (V) [l/s]	True mass flowrate (\dot{m}) [kg/s]	True volume flowrate (\dot{V}) [l/s]	Reynolds # [-]
66	93.5	93.5	4.9	4.9	0.03151184	26.8392866	1.49E+04
66	183	183	9.5	9.5	0.04395084	37.43381173	2.07E+04
66	291	291	15.2	15.2	0.05531759	47.11510159	2.61E+04
66	420.5	420.5	22.2	22.2	0.06639959	56.55388185	3.13E+04
66	508	508	26.0	26.0	0.07292661	62.11305385	3.44E+04
66	634	634	33.0	33.0	0.08139624	69.3268015	3.84E+04
66	635	635	33.1	33.1	0.08145987	69.3809969	3.84E+04
66	837	837	43.0	43.0	0.09341152	79.58045548	4.40E+04
66	1080	1080	56.0	56.0	0.10598083	90.26599453	4.99E+04
66	1083	1083	56.5	56.5	0.10612646	90.39003178	5.00E+04



Summary	$k_m = 0.0132026 \text{ [kg/s]}$ $k_v = 12.037544 \text{ [\ell/s]}$ $k_v = 43.335159 \text{ [m}^3\text{/h]}$ $n = 0.4976289 \text{ [-]}$	If n is assumed to be exactly 0.5 then:	$k_m = 0.01308558 \text{ [kg/s]}$ $k_v = 11.9454447 \text{ [\ell/s]}$ $k_v = 43.003601 \text{ [m}^3\text{/h]}$ $n = 0.5 \text{ [-]}$
<p>True mass flow rate: $\dot{m} = k_m (\Delta p \cdot \rho)^n \text{ [kg/s]}$</p> <p>True volume flow rate: $\dot{V} \equiv \frac{\dot{m}}{\rho} = \frac{k_m}{\rho} (\Delta p \cdot \rho)^n \text{ [m}^3\text{/s]} = k_v \sqrt{\frac{1.2}{\rho}} (\Delta p)^n \text{ [\ell/s]}$</p> <p>$\dot{V}$ at reference $\rho = 1.2 \text{ kg/m}^3$: $\dot{V}_{\rho=1.2} \equiv \frac{\dot{m}}{1.2} = \frac{k_m}{1.2} (\Delta p \cdot \rho)^n \text{ [m}^3\text{/s]} = k_v \sqrt{\frac{\rho}{1.2}} (\Delta p)^n \text{ [\ell/s]}$ (assuming same mass flow)</p>			

Vedlegg C

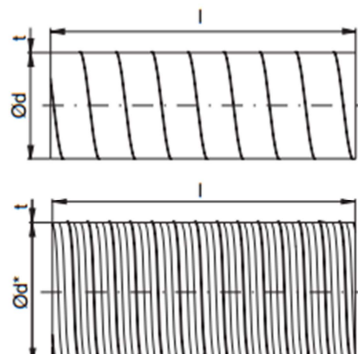
lindab | safe

Cirkulär kanal

SR



Dimensioner



Beskrivning

Cirkulär kanal.

Kanalerna kan tillverkas både med och utan Click-funktion (nockar).

Var god specificera vid beställning.

Ød std nom	O πd m	A $\pi d^2/4$ m ²	t std [mm]	l std [mm]	ml std kg/m
63	0,198	0,003	0,45	3000	0,85
80	0,251	0,005	0,45	3000	0,91
100	0,314	0,008	0,45	3000	1,14
125	0,393	0,012	0,45	3000	1,41
160	0,503	0,020	0,5	3000	2,02
200	0,628	0,031	0,5	3000	2,56
250*	0,785	0,049	0,5	3000	3,18
315*	0,990	0,078	0,55	3000	4,41
400*	1,257	0,126	0,55	3000	6,01
500*	1,571	0,196	0,7	3000	9,54
630*	1,979	0,312	0,7	3000	12,0
800*	2,513	0,503	0,8	3000	17,4
1000*	3,142	0,785	0,9	3000	24,1
1250*	3,927	1,227	0,9	3000	30,2
1600*	5,027	2,011	1,25	2400	54,8

* Med utåtgående förstyrningssickar.

Beställningsexempel

	SR	200	3000	CLIC
Produkt				
Dimension Ød				
Längd l				
Typ				



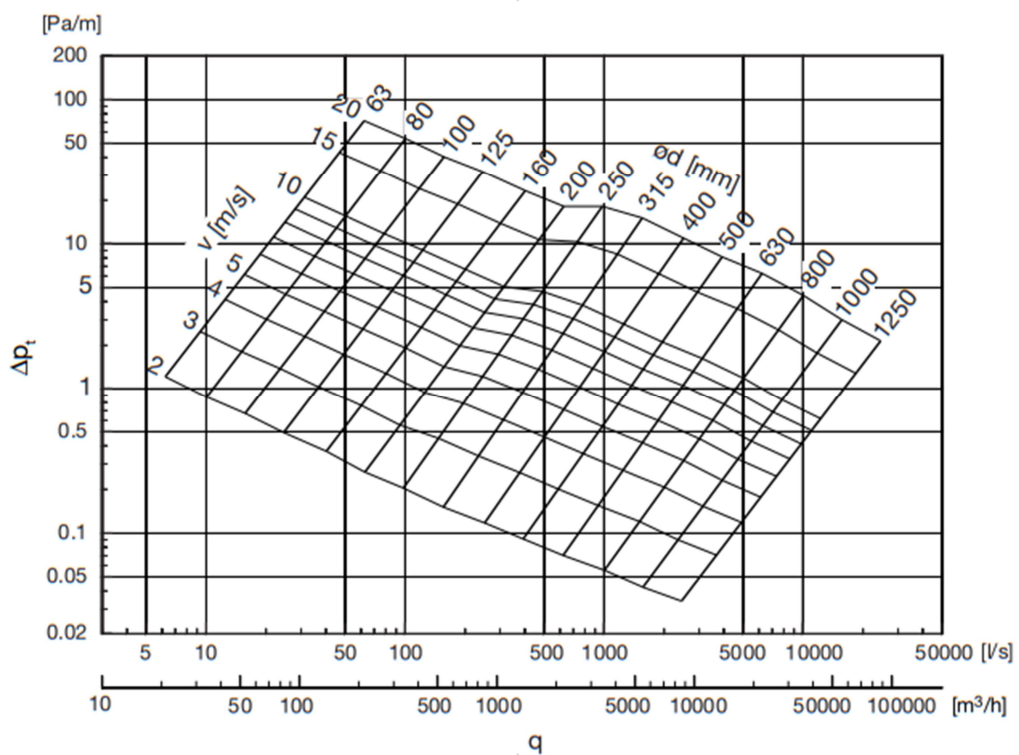
Rätt till ändringar förbehalles
2021-12-02



Cirkulär kanal

SR

Tekniska data



Specialutförande

Mot förfrågan kan vi leverera kanaler i följande specialutförande:

- I mellanliggande dimensioner, se sidan .
- Extra tätta med nitrilgummipackning i falsen
- Med andra plåtjocklekar

Extra tätta med falstötning

Vid krav på extrem hög täthet i spiralfalsen på kanalerna kan dessa levereras med en speciell gummiträddning inmonterad i falsen.

Packningen förhindrar mycket effektivt läckage av vegetabiliska oljor och fett samt de flesta petroleumprodukter inklusive lacknafta.

Andra plåtjocklekar

Vid behov av hög stabilitet på kanalen t ex stort undertryck kan dessa levereras i tjockare plåt än standard. Tjockleksökningen innebär mindre invändig diameter. Därför bör alltid detaljer till sådana specialkanaler anges separat och ibland tillverkas speciellt för ändamålet.

Förstyrningssickar

För att öka den radiella styvheten på kanalen tillverkas normalt dim Ø250 och däröver med förstyrningssickar.



Rätt till ändringar förbe hållas
2021-12-02



2

Cirkulär kanal

SR

Tekniska data

Hållfasthet

Övertryck

Vid högt övertryck kommer först tätningslisternas läppar att börja vissla. Vid betydligt högre tryck kommer skarvorna mellan kanalerne att silitas sönder. Om man lyckas fixera anslutningar mycket väl kommer kanalerna att vid ännu högre tryck brista längs falsen. De höga tryck som krävs för att detta ska inträffa är dock inte aktuella i ventilationsanläggningar.

Undertryck

Vid anläggningar med kraftigt undertryck finns det risk för att kanalerna kollapsar.

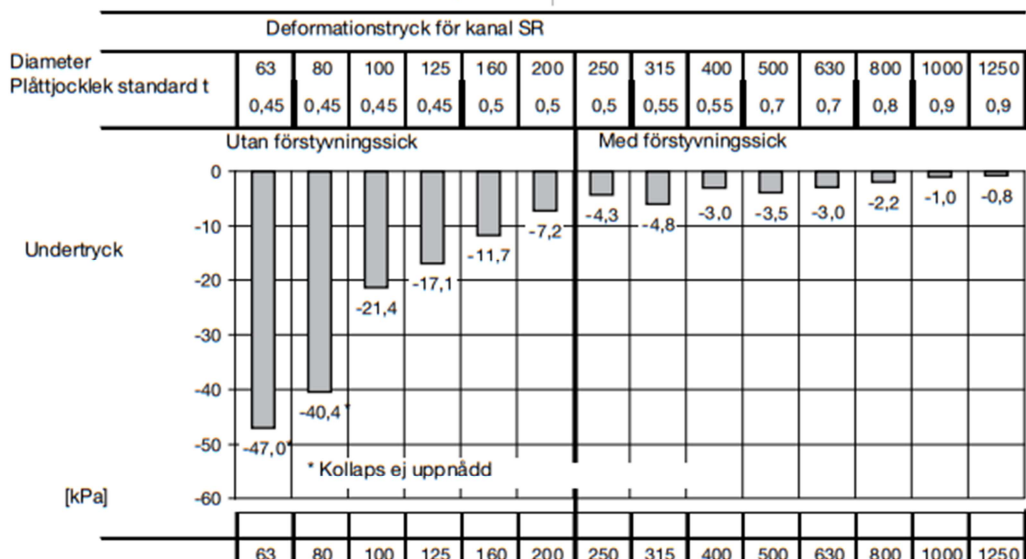
Detta fenomen kallas buckling och inträffar helt plötsligt vid den svagaste punkten i systemet. Bucklingen vandrar längs kanalen och denna kan bli helt tillplattad. Den svagaste punkten är ofta en "transportbubble" på kanalen. Se därför till att endast använda oskadade kanaler i system som används nära kritiskt tryck!

Stapeldiagrammet redovisar det maximala undertryck våra oskadade standardkanaler kan motstå utan att kollapsa.

Styrka och täthet

Täthetslistens förmåga att klara täthet skiljer sig från de maximala tryckeprägränderna och redovisas i tabellen nedan.

I exceptionella fall behövs ytterligare starka kanaler och detaljer. Lindab har utvecklat ett system som tål ned till 5000 Pascals undertryck. För att minimera kostnader och vara säker på prestanda till det specifika systemet kontakta Lindab för precis dimensionering.



	Min Dim [nom]	Max Dim [nom]	Max Undertryck [Pa]	Max [Pa]
Safetätningens stabilitet	63	1600	-5000	3000
Kanalsystem Euroventcertifierat	63	315	-5000	2000
Kanalsystem Euroventcertifierat	400	1250	-750	2000
Kanalsystem enligt EN 12237	63	1250	-750	2000
Kanalsystem - Förlängt system på förfrågan	63	1600	-5000	3000



Rätt till ändringar förbehalles
2021-12-02

Lindab®

Vedlegg D

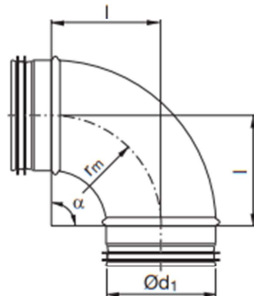
Lindab | safe

Böj

BU 90°



Dimensioner



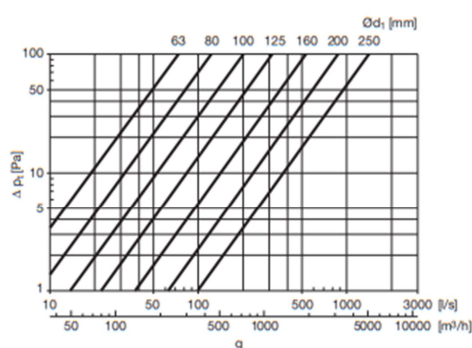
$$r_m \approx 1 \cdot d_1$$

Beskrivning

Pressad och sömsvetsad böj.

EVIT: Vitlackade detaljer, passar i t.ex synliga installationer.

Tekniska data



Od ₁ nom	l [mm]	m kg
63	100	0,20
80	105	0,26
100	100	0,31
125	125	0,48
160	160	0,66
200	200	1,12
250	242	1,77

Beställningsexempel

Produkt BU 100 90
Dimension Ød₁
Vinkel α



Rätt till ändringar förbehalles
2021-09-08

Lindab®

1

T-rör

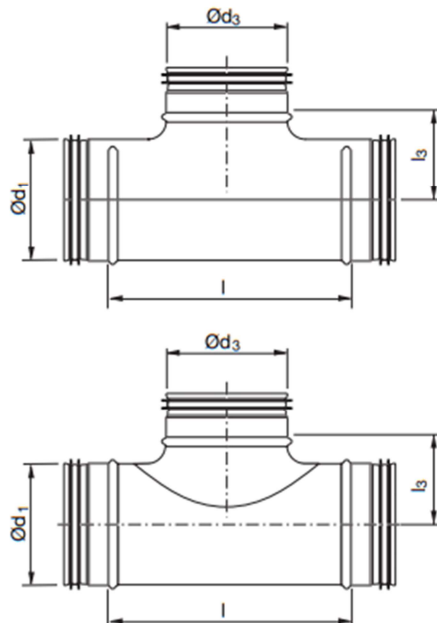
TCPU



Beskrivning

T-rör byggt med hälpressad överdel eller med påstick PSU.

Dimensioner



Ød_1 nom	Ød_3 nom	I [mm]	l_3 [mm]	m kg
63	63	125	42	0,26
80	63	125	50	0,31
80	80	140	52	0,36
100	63	125	60	0,35
100	80	97	60	0,23
100	100	130	65	0,32
125	63	125	73	0,44
125	80	97	72	0,34
125	100	130	78	0,37
125	125	165	83	0,44
160	80	140	92	0,59
160	100	130	95	0,46
160	125	166	100	0,53
160	160	209	105	0,63
200	80	140	112	0,77
200	100	175	115	0,88
200	125	215	115	1,02
200	160	209	125	0,67
200	200	249	125	1,21
250	80	156	137	1,13
250	100	175	140	1,22
250	125	220	145	1,48
250	160	256	150	1,58

Beställningsexempel

Produkt TCPU 250 160
 Dimension Ød_1
 Dimension Ød_3



Rätt till ändringar förbehållas
2020-06-24



T-rör

TCPU

Ød₁ nom	Ød₃ nom	I [mm]	I₃ [mm]	m kg
250	200	306	150	1,78
250	250	296	150	1,65
315	80	156	170	1,43
315	100	175	173	1,50
315	125	220	178	1,76
315	160	256	182	1,96
315	200	306	182	2,14
315	250	350	182	2,59
315	315	363	182	2,20
400	100	175	215	2,27
400	125	225	220	2,81
400	160	266	225	3,02
400	200	300	225	3,37
400	250	350	225	3,79
400	315	415	225	4,42
400	400	510	225	6,20
500	100	175	265	3,06
500	125	225	270	3,35
500	160	266	275	3,77
500	200	300	275	4,14
500	250	350	275	4,68
500	315	415	275	5,30
500	400	510	275	6,34
500	500 *	552	290	8,27
630	100	175	330	4,03
630	125	225	335	4,41
630	160	266	340	4,99
630	200	300	340	5,35
630	250	350	340	6,00
630	315	415	340	6,77
630	400	510	340	7,69
630	500 *	552	340	8,44
630	630 *	680	340	11,3

* Handbyggd med påstick utan radie.



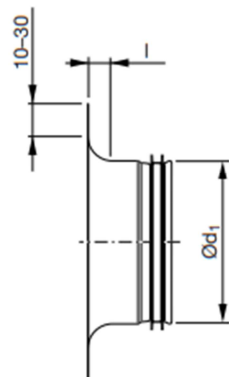
Rätt till ändringar förbehålls
2020-06-24

Inloppsrör

ILRU



Dimensioner



Beskrivning

Inloppsrör med radie.

Ød_1 nom	I [mm]	m kg
63	10	0,07
80	12	0,10
100	15	0,11
125	20	0,14
160	25	0,19
200	25	0,26
250	25	0,57
315	25	0,72
400	25	0,97
500	25	1,35
630	25	1,77

Beställningsexempel

ILRU 250
Produkt
Dimension Ød_1



Rätt till ändringar förbehålls
2020-06-24

 Lindab®

Vedlegg G

Teknisk data om CK 160 viften fra Ostberg Henter fra hjemmesiden til ostberg
<https://fsp.ostberg.com/products/47/ck-160-b1/?region=&lang=en> hentet 24.05.2023

	CK 160 B1 man tp 7000009		CK 160 B1 aut tp 7000048	
Parameter	Value	Unit	Value	Unit
Voltage	230	V	230	V
Phase	1	~	1	~
Frequency	50	Hz	50	Hz
Optional frequency	60	Hz	60	Hz
Power	60	W	60	W
Current	0.26	A	0.26	A
Speed	2490	r.p.m.	2490	r.p.m.
Max. temperature of transported air	80	°C	80	°C
Max. temperature of transported air when speed controlled	80	°C	80	°C
Sound pressure level at 3 m	39	dB(A)	39	dB(A)
Weight	2.7	kg	2.7	kg
Enclosure class	44	IP	44	IP
Insulation class, motor	F		F	
Capacitor	2	µF	2	µF
Duct connection	160	mm	160	mm
Max. flow	135	l/s	135	l/s
Max. pressure	332	Pa	332	Pa
Voltage range	220-240	V	220-240	V

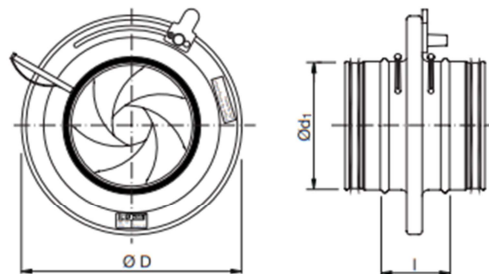
Vedlegg H

Flödesmätspjäll

DIRU



Dimensioner



Beskrivning

DIRU är ett irisspjäll för mätning och injustering av luftflöden. DIRU har följande egenskaper: låg ljudnivå, centriskt flöde, fasta mätuttag som ger noggrann flödesmätning samt är utrustad med regleringsfunktion som kan öppnas helt, vilket betyder att det inte krävs någon renslucka.

Klarar täthetsklass C.

Dimensioneringsdiagrammen ska användas för att bestämma tryckfallet över flödesmätspjället samt ge information om ljudeffektnivå vid olika inställningar.

Vid injustering av spjället ska injusteringsdiagrammen användas. För flödesmätspjäll finns en monterings-, mätnings-, injusterings- och skötselanvisningen (MMIS).

Reglerskivorna bildar en mätfäns som möjliggör flödesmätning. Avläst tryckfall över donets mätnipplar ger luftflödet efter uträkning med k-faktor. K-faktor och spjällinställning är sammat tal, vilket innebär att man slipper avläsa diagram för att få fram k-faktorn utifrån en viss spjällinställning.

Luftflödet regleras med spjällets handtag.

Utförande

Spjället är tillverkat i galvaniserad stålplåt

Montering

DIRU injusteringsspjäll monteras så att störningsavståndet beaktas.

Rensning

Genom att ställa spjället i öppet läge kommer man åt att rensa kanalen. Kom ihåg att återställa spjället efter rensning.

Ød_1 nom	ØD [mm]	I [mm]	m kg
80	135	52	0,60
100	163	54	0,80
125	210	63	1,20
160	230	60	1,40
200	285	62	2,00
250	333	62	2,60
315	406	63	3,40
400	560	70	6,90
500	644	60	7,90
630	811	60	11,9

Teknisk data

För teknisk data, gå till [LindQST](#).

Beställningsexempel

Produkt DIRU 160
Dimension Ød_1

Rätt till ändringar förbehålls

 Lindab °

1

Vedlegg I

Måleenhet	Avstand fra bend i cm	Hastighetsnivå	Rotasjons posisjon	Trykk målt over BAAS	Luftmengde ved BAAS målestasjon	Luftmengde lest av CTH	Fuktighet	Temperatur	Dato	Avvik i %	Avvik i m3/h
Målesirkel	0	1	1	22,1	200,0	204	35 %	19,6	01.04.2023	2,0	4,0
Målesirkel	0	3	1	78,8	377,8	380	35 %	19,6	01.04.2023	0,6	2,2
Målesirkel	0	6	1	108,4	442,9	431	35 %	19,6	01.04.2023	-2,7	-11,9
Målesirkel	0	1	3	22,2	201,3	196	35 %	19,6	01.04.2023	-2,6	-5,3
Målesirkel	0	3	3	81,3	383,8	368	35 %	19,6	01.04.2023	-4,1	-15,8
Målesirkel	0	6	3	108,0	442,1	432	35 %	19,6	01.04.2023	-2,3	-10,1
Målesirkel	0	1	6	22,6	202,8	199	35 %	19,6	01.04.2023	-1,8	-3,8
Målesirkel	0	3	6	77,0	373,6	359	35 %	19,6	01.04.2023	-3,9	-14,6
Målesirkel	0	6	6	108,8	443,7	430	35 %	19,6	01.04.2023	-3,1	-13,7

Måleenhet	Avstand fra bend i cm	Hastighetsnivå	Rotasjons posisjon	Trykk målt over BAAS	Luftmengde ved BAAS målestasjon	Luftmengde lest av CTH	Fuktighet	Temperatur	Dato	Avvik i %	Avvik i m3/h
Målesirkel	16	1	1	23,6	207,4	207	35 %	19,6	01.04.2023	-0,2	-0,4
Målesirkel	16	3	1	84,0	390,0	387	35 %	19,6	01.04.2023	-0,8	-3,0
Målesirkel	16	6	1	98,4	422,1	429	35 %	19,6	01.04.2023	1,6	6,9
Målesirkel	16	1	3	18,9	185,9	190	35 %	19,6	01.04.2023	2,2	4,1
Målesirkel	16	3	3	76,3	371,8	354	35 %	19,6	01.04.2023	-4,8	-17,8
Målesirkel	16	6	3	98,7	422,7	432	35 %	19,6	01.04.2023	2,2	9,3
Målesirkel	16	1	6	22,9	204,0	198	35 %	19,6	01.04.2023	-2,9	-6,0
Målesirkel	16	3	6	79,7	380,1	364	35 %	19,6	01.04.2023	-4,2	-16,1
Målesirkel	16	6	6	101,7	429,0	434	35 %	19,6	01.04.2023	1,2	5,0

Måleenhet	Avstand fra bend i cm	Hastighetsnivå	Rotasjons posisjon	Trykk målt over BAAS	Luftmengde ved BAAS målestasjon	Luftmengde lest av CTH	Fuktighet	Temperatur	Dato	Avvik i %	Avvik i m3/h
Målesirkel	48	1	1	21,9	199,6	204	35 %	19,6	01.04.2023	2,2	4,4
Målesirkel	48	3	1	78,8	377,9	374	35 %	19,6	01.04.2023	-1,0	-3,9
Målesirkel	48	6	1	99,7	424,8	433	35 %	19,6	01.04.2023	1,9	8,2
Målesirkel	48	1	2	21,1	196,2	200	35 %	19,6	01.04.2023	2,0	3,8
Målesirkel	48	3	2	78,6	377,5	374	35 %	19,6	01.04.2023	-0,9	-3,4
Målesirkel	48	6	2	99,0	423,3	432	35 %	19,6	01.04.2023	2,0	8,7
Målesirkel	48	1	3	21,8	199,3	201	35 %	19,6	01.04.2023	0,8	1,7
Målesirkel	48	3	3	78,0	376,0	365	35 %	19,6	01.04.2023	-2,9	-11,0
Målesirkel	48	6	3	98,4	422,1	434	35 %	19,6	01.04.2023	2,8	12,0

Måleenhet	vstand fra bend i cm	Hastighetsnivå	Rotasjons posisjon	Trykk målt over BAAS	Luftmengde ved BAAS målestasjon	Luftmengde lest av CTH	Fuktighet	Temperatur	Dato	Avvik i %	Avvik i m3/h
Målesirkel	80	1	1	21	195,69	205	35 %	19,6	01.04.2023	4,8	9,3
Målesirkel	80	3	1	73,24	364,37	368	35 %	19,6	01.04.2023	1,0	3,6
Målesirkel	80	6	1	125,6	476,55	427	35 %	19,6	01.04.2023	-10,4	-49,6
Målesirkel	80	1	2	21,96	200,09	210	35 %	19,6	01.04.2023	5,0	9,9
Målesirkel	80	3	2	79,06	378,5	379	35 %	19,6	01.04.2023	0,1	0,5
Målesirkel	80	6	2	135,9	495,61	437	35 %	19,6	01.04.2023	-11,8	-58,6
Målesirkel	80	1	3	21,35	197,3	205	35 %	19,6	01.04.2023	3,9	7,7
Målesirkel	80	3	3	75,95	371,02	373	35 %	19,6	01.04.2023	0,5	2,0
Målesirkel	80	6	3	131,4	487,38	436	35 %	19,6	01.04.2023	-10,5	-51,4

Måleenhet	Avstand fra bend i cm	Hastighetsnivå	Rotasjons posisjon	Trykk målt over BAAS	Luftmengde ved BAAS målestasjon	Luftmengde lest av CTH	Fuktighet	Temperatur	Dato	Avvik i %	Avvik i m3/h
Målesirkel	160	1	1	21,39	197,5	212	35 %	19,6	01.04.2023	7,3	14,5
Målesirkel	160	3	1	77,82	375,5	386	35 %	19,6	01.04.2023	2,8	10,5
Målesirkel	160	6	1	130,7	486,0	439	35 %	19,6	01.04.2023	-9,7	-47,0
Målesirkel	160	1	2	19,12	186,8	203	35 %	19,6	01.04.2023	8,7	16,2
Målesirkel	160	3	2	77,31	374,3	380	35 %	19,6	01.04.2023	1,5	5,7
Målesirkel	160	6	2	134,4	492,9	443	35 %	19,6	01.04.2023	-10,1	-49,9
Målesirkel	160	1	3	20,89	195,2	210	35 %	19,6	01.04.2023	7,6	14,8
Målesirkel	160	3	3	77,2	374,0	382	35 %	19,6	01.04.2023	2,1	8,0
Målesirkel	160	6	3	130,2	485,2	431	35 %	19,6	01.04.2023	-11,2	-54,2

Måleenhet	Avstand i cm	Hastighetsnivå	Rotasjons posisjon	Trykk målt over BAAS	Luftmengde ved BAAS målestasjon	Luftmengde lest av CTH	Fuktighet	Temperatur	Dato	Avvik i %	Avvik i m3/h
Målekors	0	1	1	25,7	217,4	224	35 %	19,6	01.04.2023	3,0	6,6
Målekors	0	3	1	91,1	408,5	421	35 %	19,6	01.04.2023	3,1	12,5
Målekors	0	6	1	97,0	421,4	430	35 %	19,6	01.04.2023	2,0	8,6
Målekors	0	1	3	25,5	216,8	227	35 %	19,6	01.04.2023	4,7	10,2
Målekors	0	3	3	91,2	408,7	433	35 %	19,6	01.04.2023	5,9	24,3
Målekors	0	6	3	92,1	410,9	433	35 %	19,6	01.04.2023	5,4	22,2
Målekors	0	1	6	24,9	214,1	223	35 %	19,6	01.04.2023	4,2	8,9
Målekors	0	3	6	91,2	408,9	421	35 %	19,6	01.04.2023	3,0	12,2
Målekors	0	6	6	96,4	420,3	434	35 %	19,6	01.04.2023	3,3	13,7

Måleenhet	Avstand i cm	Hastighetsnivå	Rotasjons posisjon	Trykk målt over BAAS	Luftmengde ved BAAS målestasjon	Luftmengde lest av CTH	Fuktighet	Temperatur	Dato	Avvik i %	Avvik i m3/h
Målekors	16	1	1	24,1	211,0	214	35 %	19,6	01.04.2023	1,4	3,0
Målekors	16	3	1	81,2	385,8	401	35 %	19,6	01.04.2023	3,9	15,2
Målekors	16	6	1	96,7	420,9	434	35 %	19,6	01.04.2023	3,1	13,1
Målekors	16	1	3	24,4	212,2	222	35 %	19,6	01.04.2023	4,6	9,8
Målekors	16	3	3	72,9	365,5	383	35 %	19,6	01.04.2023	4,8	17,5
Målekors	16	6	3	93,3	413,4	435	35 %	19,6	01.04.2023	5,2	21,6
Målekors	16	1	6	23,7	208,8	219	35 %	19,6	01.04.2023	4,9	10,2
Målekors	16	3	6	87,5	400,4	417	35 %	19,6	01.04.2023	4,1	16,6
Målekors	16	6	6	96,4	420,3	436	35 %	19,6	01.04.2023	3,7	15,7

Måleenhet	Avstand i cm	Hastighetsnivå	Rotasjons posisjon	Trykk målt over BAAS	Luftmengde ved BAAS målestasjon	Luftmengde lest av CTH	Fuktighet	Temperatur	Dato	Avvik i %	Avvik i m3/h
Målekors	48	1	1	27,4	224,7	231	35 %	19,6	01.04.2023	2,8	6,3
Målekors	48	3	1	92,8	412,3	429	35 %	19,6	01.04.2023	4,0	16,7
Målekors	48	6	1	95,8	418,9	432	35 %	19,6	01.04.2023	3,1	13,2
Målekors	48	1	3	25,1	215,0	222	35 %	19,6	01.04.2023	3,3	7,0
Målekors	48	3	3	83,0	390,1	401	35 %	19,6	01.04.2023	2,8	10,9
Målekors	48	6	3	96,4	420,2	435	35 %	19,6	01.04.2023	3,5	14,9
Målekors	48	1	6	24,3	211,6	220	35 %	19,6	01.04.2023	4,0	8,4
Målekors	48	3	6	83,8	392,0	413	35 %	19,6	01.04.2023	5,4	21,0
Målekors	48	6	6	94,5	416,1	434	35 %	19,6	01.04.2023	4,3	17,9

Måleenhet	Avstand i cm	Hastighetsnivå	Rotasjons posisjon	Trykk målt over BAAS	Luftmengde ved BAAS målestasjon	Luftmengde lest av CTH	Fuktighet	Temperatur	Dato	Avvik i %	Avvik i m3/h
Målekors	80	1	1	23,7	209,0	217	35 %	19,6	01.04.2023	3,9	8,1
Målekors	80	3	1	89,7	405,5	421	35 %	19,6	01.04.2023	3,8	15,5
Målekors	80	6	1	96,4	420,3	434	35 %	19,6	01.04.2023	3,3	13,7
Målekors	80	1	3	24,0	210,5	219	35 %	19,6	01.04.2023	4,0	8,5
Målekors	80	3	3	79,9	382,7	398	35 %	19,6	01.04.2023	4,0	15,3
Målekors	80	6	3	95,1	417,4	435	35 %	19,6	01.04.2023	4,2	17,6
Målekors	80	1	6	22,1	202,1	212	35 %	19,6	01.04.2023	4,9	9,9
Målekors	80	3	6	86,2	397,4	411	35 %	19,6	01.04.2023	3,4	13,6
Målekors	80	6	6	94,5	416,0	434	35 %	19,6	01.04.2023	4,3	18,0

Måleenhet	Avstand i cm	Hastighetsnivå	Rotasjons posisjon	Trykk målt over BAAS	Luftmengde ved BAAS målestasjon	Luftmengde lest av CTH	Fuktighet	Temperatur	Dato	Avvik i %	Avvik i m3/h
Målekors	160	1	1	22,6	204,2	213	35 %	19,6	01.04.2023	4,3	8,8
Målekors	160	3	1	81,3	386,0	411	35 %	19,6	01.04.2023	6,5	25,0
Målekors	160	6	1	93,4	413,6	427	35 %	19,6	01.04.2023	3,2	13,4
Målekors	160	1	3	21,8	200,4	210	35 %	19,6	01.04.2023	4,8	9,6
Målekors	160	3	3	78,1	378,3	397	35 %	19,6	01.04.2023	4,9	18,7
Målekors	160	6	3	94,6	416,2	435	35 %	19,6	01.04.2023	4,5	18,8
Målekors	160	1	6	21,2	197,6	206	35 %	19,6	01.04.2023	4,3	8,4
Målekors	160	3	6	84,5	393,4	412	35 %	19,6	01.04.2023	4,7	18,6
Målekors	160	6	6	96,4	420,3	431	35 %	19,6	01.04.2023	2,6	10,7

Måleenhet	Avstand i cm	Hastighetsnivå	Rotasjons posisjon	Trykk målt over BAAS	Luftmengde ved BAAS målestasjon	Luftmengde lest av CTH	Fuktighet	Temperatur	Dato	Avvik i %	Avvik i m3/h
Ultralyd	0	1	1	26,3	219,0	202	35 %	19,6	01.04.2023	-7,8	-17,0
Ultralyd	0	3	1	91,5	407,3	378	35 %	19,6	01.04.2023	-7,2	-29,3
Ultralyd	0	6	1	178,7	568,3	533	35 %	19,6	01.04.2023	-6,2	-35,3
Ultralyd	0	1	3	25,9	217,4	182	35 %	19,6	01.04.2023	-16,3	-35,4
Ultralyd	0	3	3	87,4	398,1	334	35 %	19,6	01.04.2023	-16,1	-64,1
Ultralyd	0	6	3	177,0	565,6	476	35 %	19,6	01.04.2023	-15,8	-89,6
Ultralyd	0	1	6	24,8	212,5	161	35 %	19,6	01.04.2023	-24,2	-51,5
Ultralyd	0	3	6	90,8	405,8	296	35 %	19,6	01.04.2023	-27,1	-109,8
Ultralyd	0	6	6	176,4	564,7	419	35 %	19,6	01.04.2023	-25,8	-145,7

Måleenhet	Avstand i cm	Hastighetsnivå	Rotasjons posisjon	Trykk målt over BAAS	Luftmengde ved BAAS målestasjon	Luftmengde lest av CTH	Fuktighet	Temperatur	Dato	Avvik i %	Avvik i m3/h
Ultralyd	16	1	1	25,8	216,9	197	35 %	19,6	01.04.2023	-9,2	-19,9
Ultralyd	16	3	1	89,7	403,3	372	35 %	19,6	01.04.2023	-7,8	-31,3
Ultralyd	16	6	1	175,4	563,1	522	35 %	19,6	01.04.2023	-7,3	-41,1
Ultralyd	16	1	3	26,3	219,0	193	35 %	19,6	01.04.2023	-11,9	-26,0
Ultralyd	16	3	3	92,4	409,3	361	35 %	19,6	01.04.2023	-11,8	-48,3
Ultralyd	16	6	3	175,5	563,2	496	35 %	19,6	01.04.2023	-11,9	-67,2
Ultralyd	16	1	6	25,4	215,3	165	35 %	19,6	01.04.2023	-23,3	-50,3
Ultralyd	16	3	6	95,1	415,2	377	35 %	19,6	01.04.2023	-9,2	-38,2
Ultralyd	16	6	6	175,4	563,1	433	35 %	19,6	01.04.2023	-23,1	-130,1

Måleenhet	Avstand i cm	Hastighetsnivå	Rotasjons posisjon	Trykk målt over BAAS	Luftmengde ved BAAS målestasjon	Luftmengde lest av CTH	Fuktighet	Temperatur	Dato	Avvik i %	Avvik i m3/h
Ultralyd	48	1	1	26,3	219,0	208,0	35 %	19,6	01.04.2023	-5,0	-11,0
Ultralyd	48	3	1	93,5	411,7	359,0	35 %	19,6	01.04.2023	-12,8	-52,7
Ultralyd	48	6	1	175,4	563,1	533,0	35 %	19,6	01.04.2023	-5,3	-30,1
Ultralyd	48	1	3	26,2	218,6	195,0	35 %	19,6	01.04.2023	-10,8	-23,6
Ultralyd	48	3	3	92,8	410,2	376,0	35 %	19,6	01.04.2023	-8,3	-34,2
Ultralyd	48	6	3	175,6	563,4	511,0	35 %	19,6	01.04.2023	-9,3	-52,4
Ultralyd	48	1	6	25,7	216,5	187,0	35 %	19,6	01.04.2023	-13,6	-29,5
Ultralyd	48	3	6	93,7	412,2	389,0	35 %	19,6	01.04.2023	-5,6	-23,2
Ultralyd	48	6	6	175,5	563,2	492,0	35 %	19,6	01.04.2023	-12,6	-71,2

Måleenhet	Avstand i cm	Hastighetsnivå	Rotasjons posisjon	Trykk målt over BAAS	Luftmengde ved BAAS målestasjon	Luftmengde lest av CTH	Fuktighet	Temperatur	Dato	Avvik i %	Avvik i m3/h
Ultralyd	80	1	1	25,7	216,5	202,0	35 %	19,6	01.04.2023	-6,7	-14,5
Ultralyd	80	3	1	94,0	412,8	376,0	35 %	19,6	01.04.2023	-8,9	-36,8
Ultralyd	80	6	1	172,5	558,41	514,0	35 %	19,6	01.04.2023	-7,9	-44,4
Ultralyd	80	1	3	26,5	219,8	210,0	35 %	19,6	01.04.2023	-4,5	-9,8
Ultralyd	80	3	3	93,2	411,1	393,0	35 %	19,6	01.04.2023	-4,4	-18,1
Ultralyd	80	6	3	172,7	558,7	530,0	35 %	19,6	01.04.2023	-5,1	-28,7
Ultralyd	80	1	6	26,4	219,4	217,0	35 %	19,6	01.04.2023	-1,1	-2,4
Ultralyd	80	3	6	92,8	410,2	410,0	35 %	19,6	01.04.2023	0,0	-0,2
Ultralyd	80	6	6	172,6	558,6	559,0	35 %	19,6	01.04.2023	0,1	0,4

Måleenhet	Avstand i cm	Hastighetsnivå	Rotasjons posisjon	Trykk målt over BAAS	Luftmengde ved BAAS målestasjon	Luftmengde lest av CTH	Fuktighet	Temperatur	Dato	Avvik i %	Avvik i m3/h
Ultralyd	160	1	1	26,2	218,6	221	35 %	19,6	01.04.2023	1,1	2,4
Ultralyd	160	3	1	92,3	409,07	418	35 %	19,6	01.04.2023	2,2	8,93
Ultralyd	160	6	1	170,1	554,53	565	35 %	19,6	01.04.2023	1,9	10,47
Ultralyd	160	1	3	26,7	220,66	224	35 %	19,6	01.04.2023	1,5	3,34
Ultralyd	160	3	3	93,1	410,83	421	35 %	19,6	01.04.2023	2,5	10,17
Ultralyd	160	6	3	170,8	555,66	569	35 %	19,6	01.04.2023	2,4	13,34
Ultralyd	160	1	6	26,1	218,18	223	35 %	19,6	01.04.2023	2,2	4,82
Ultralyd	160	3	6	91,8	407,97	417	35 %	19,6	01.04.2023	2,2	9,03
Ultralyd	160	6	6	170,1	554,53	567	35 %	19,6	01.04.2023	2,2	12,47

Vedlegg J

Måleenhet	Avstand i cm	Rotasjons posisjon	Luftmengde lest av cth	Luftmengde VAV rett frem	Trykk ved baas etter vifte	Luftmengde i gren BAAS	Trykk i rett frem BAAS	Dato	Temperatur	Fuktighet	Spjeldvinkel	Avvik i m3/h	Avvik i %
Målesirkel	0	1	43	65	129,8	55,9	2,1	13.04.2023	20,4	33,3	18	-12,9	-30,0
Målesirkel	0	2	43	65	128,1	49,5	2,1	13.04.2023	20,4	33,3	18	-6,5	-15,0
Målesirkel	0	3	43	65	130,4	59,1	2,1	13.04.2023	20,4	33,3	18	-16,1	-37,3
Målesirkel	0	1	43	244	310,0	60,4	35,6	13.04.2023	20,4	33,3	18	-17,4	-40,5
Målesirkel	0	2	43	244	310,0	61,3	35,6	13.04.2023	20,4	33,3	18	-18,3	-42,6
Målesirkel	0	3	43	244	313,7	66,5	35,4	13.04.2023	20,4	33,3	18	-23,5	-54,6
Målesirkel	0	1	136	45	24,0	160,0	1	13.04.2023	20,4	33,3	37	-24,0	-17,6
Målesirkel	0	2	136	45	23,9	159,6	1	13.04.2023	20,4	33,3	37	-23,6	-17,4
Målesirkel	0	3	136	45	23,8	158,7	1	13.04.2023	20,4	33,3	37	-22,7	-16,7
Målesirkel	0	1	136	204	75,0	160,4	24	13.04.2023	20,4	33,3	37	-24,4	-17,9
Målesirkel	0	2	136	204	75,8	163,5	23,8	13.04.2023	20,4	33,3	37	-27,5	-20,2
Målesirkel	0	3	136	204	72,8	154,0	23,9	13.04.2023	20,4	33,3	37	-18,0	-13,3
Målesirkel	0	1	136	400	156,5	150,0	82,8	13.04.2023	20,4	33,3	37	-14,0	-10,3
Målesirkel	0	2	136	400	162,2	182,0	71,9	13.04.2023	20,4	33,3	37	-46,0	-33,8
Målesirkel	0	3	136	400	162,6	186,0	72,3	13.04.2023	20,4	33,3	37	-50,0	-36,8
Målesirkel	0	1	400	76	137,5	385,0	2,9	10.05.2023	21	36	100	15,0	3,8
Målesirkel	0	2	397	76	138,0	365,0	2,8	10.05.2023	21	36	100	32,0	8,1
Målesirkel	0	3	402	76	135,7	371,0	2,9	10.05.2023	21	36	100	31,0	7,7

Måleenhet	Avstand i cm	Rotasjons posisjon	Luftmengde lest av cth	Luftmengde VAV rett frem	Trykk ved baas etter vifte	Luftmengde i gren BAAS	Trykk i rett frem BAAS	Dato	Temperatur	Fuktighet	Spjeldvinkel	Avvik i m3/h	Avvik i %
Målesirkel	16	1	43	65	8,9	63,1	2,2	14.04.2023	18,2	43,6	16 %	-20,1	-46,7
Målesirkel	16	2	43	65	8,5	61,8	2,2	14.04.2023	18,2	43,6	16	-18,8	-43,7
Målesirkel	16	3	43	65	9,1	62	2,2	14.04.2023	18,2	43,6	16	-19	-44,2
Målesirkel	16	1	43	244	51,1	62,4	33,8	14.04.2023	18,2	43,6	16	-19,4	-45,1
Målesirkel	16	2	43	244	51,0	63,2	33,8	14.04.2023	18,2	43,6	16	-20,2	-47,0
Målesirkel	16	3	43	244	50,9	56	34,4	14.04.2023	18,2	43,6	16	-13	-30,2
Målesirkel	16	1	136	45	24,1	173,9	1,1	14.04.2023	18,2	43,6	37	-37,9	-27,9
Målesirkel	16	2	136	45	23,1	157,6	1	14.04.2023	18,2	43,6	37	-21,6	-15,9
Målesirkel	16	3	136	45	22,8	157	1	14.04.2023	18,2	43,6	37	-21	-15,4
Målesirkel	16	1	136	204	73,2	158,4	23,6	14.04.2023	18,2	43,6	37	-22,4	-16,5
Målesirkel	16	2	136	204	74,2	162,1	23,4	14.04.2023	18,2	43,6	37	-26,1	-19,2
Målesirkel	16	3	136	204	73,0	158,1	23,8	14.04.2023	18,2	43,6	37	-22,1	-16,3
Målesirkel	16	1	136	408	158,3	162,4	76,7	14.04.2023	18,2	43,6	37	-26,4	-19,4
Målesirkel	16	2	136	408	160,5	175,7	72,1	14.04.2023	18,2	43,6	37	-39,7	-29,2
Målesirkel	16	3	136	408	160,7	178	71,9	14.04.2023	18,2	43,6	37	-42	-30,9
Målesirkel	16	1	402	76	134,5	387	2,8	10.05.2023	21	36	100	15	3,7
Målesirkel	16	2	408	76	135,4	368	2,8	10.05.2023	21	36	100	40	9,8
Målesirkel	16	3	407	76	134,8	371	2,8	10.05.2023	21	36	100	36	8,8

Måleenhet	Avstand i cm	Rotasjons posisjon	Luftmengde lest av cth	Luftmengde VAV rett frem	Trykk ved baas etter vifte	Luftmengde i gren BAAS	Trykk i rett frem BAAS	Dato	Temperatur	Fuktighet	Spjeldvinkel	Avvik i m3/h	Avvik i %
Målesirkel	48	1	43	65	9,5	44,6	2,4	14.04.2023	20,4	35,1	0	-1,6	-3,7
Målesirkel	48	2	43	65	9,2	37,9	2,5	14.04.2023	20,4	35,1	16	5,1	11,8
Målesirkel	48	3	43	65	9,6	41,0	2,4	14.04.2023	20,4	35,1	16	2,0	4,7
Målesirkel	48	1	43	244	53,2	49,5	34,7	14.04.2023	20,4	35,1	16	-6,5	-15,1
Målesirkel	48	2	43	244	53,1	46,8	34,9	14.04.2023	20,4	35,1	16	-3,8	-8,8
Målesirkel	48	3	43	244	52,0	40,0	35,3	14.04.2023	20,4	35,1	16	3,0	7,0
Målesirkel	48	1	136	45	24,3	155,0	0,9	14.04.2023	20,4	35,1	37	-19,0	-14,0
Målesirkel	48	2	136	45	24,8	156,3	1	14.04.2023	20,4	35,1	37	-20,3	-14,9
Målesirkel	48	3	136	45	24,9	156,5	1	14.04.2023	20,4	35,1	37	-20,5	-15,1
Målesirkel	48	1	136	204	75,5	152,9	24,6	14.04.2023	20,4	35,1	37	-16,9	-12,4
Målesirkel	48	2	136	204	75,6	154,6	24,4	14.04.2023	20,4	35,1	37	-18,6	-13,7
Målesirkel	48	3	136	204	74,8	153,1	24,6	14.04.2023	20,4	35,1	37	-17,1	-12,6
Målesirkel	48	1	136	408	152,8	140,0	84,4	14.04.2023	20,4	35,1	37	-4,0	-2,9
Målesirkel	48	2	136	408	160,5	146,5	84,2	14.04.2023	20,4	35,1	37	-10,5	-7,7
Målesirkel	48	3	136	408	160,7	155,2	80,7	14.04.2023	20,4	35,1	37	-19,2	-14,1
Målesirkel	48	1	410	76	137,2	398,0	3	10.05.2023	21	36	100	12,0	2,9
Målesirkel	48	2	410	76	136,3	390,0	3	10.05.2023	21	36	100	20,0	4,9
Målesirkel	48	3	411	76	137,9	392,0	2,9	10.05.2023	21	36	100	-19,0	4,6

Måleenhet	Avstand i cm	Rotasjons posisjon	Luftmengde lest av cth	Luftmengde VAV rett frem	Trykk ved baas etter vifte	Luftmengde i gren BAAS	Trykk i rett frem BAAS	Dato	Temperatur	Fuktighet	Spjeldvinkel	Avvik i m3/h	Avvik i %
Målesirkel	80	1	43	65	8,3	52,6	2	14.04.2023	20,4	36,7	0	-9,6	-22,3
Målesirkel	80	2	43	65	8,7	53,0	2,1	14.04.2023	20,4	36,7	16	-10,0	-23,3
Målesirkel	80	3	43	65	9,1	56,8	2,1	14.04.2023	20,4	36,7	16	-13,8	-32,1
Målesirkel	80	1	43	244	54,2	58,0	34,4	14.04.2023	20,4	36,7	16	-15,0	-34,9
Målesirkel	80	2	43	244	53,0	54,3	34,6	14.04.2023	20,4	36,7	16	-11,3	-26,3
Målesirkel	80	3	43	244	52,9	54,2	34,4	14.04.2023	20,4	36,7	16	-11,2	-26,0
Målesirkel	80	1	136	45	24,1	152,6	1	14.04.2023	20,4	36,7	37	-16,6	-12,2
Målesirkel	80	2	136	45	24,1	152,7	1,1	14.04.2023	20,4	36,7	37	-16,7	-12,3
Målesirkel	80	3	136	45	24,8	155,3	1	14.04.2023	20,4	36,7	37	-19,3	-14,2
Målesirkel	80	1	136	204	72,6	149,4	23,7	14.04.2023	20,4	36,7	37	-13,4	-9,9
Målesirkel	80	2	136	204	73,7	153,0	23,7	14.04.2023	20,4	36,7	37	-17,0	-12,5
Målesirkel	80	3	136	204	73,7	153,0	23,6	14.04.2023	20,4	36,7	37	-17,0	-12,5
Målesirkel	80	1	136	408	158,2	149,4	81,7	14.04.2023	20,4	36,7	37	-13,4	-9,9
Målesirkel	80	2	136	408	158,7	141,1	85,5	14.04.2023	20,4	36,7	37	-5,1	-3,7
Målesirkel	80	3	136	408	150,4	129,8	84,3	14.04.2023	20,4	36,7	37	6,2	4,6
Målesirkel	80	1	420	76	135,3	403,0	3	10.05.2023	21	36	100	17,0	4,0
Målesirkel	80	2	420	76	135,5	404,0	3	10.05.2023	21	36	100	16,0	3,8
Målesirkel	80	3	420	76	135,4	401,0	3	10.05.2023	21	36	100	19,0	4,5

Måleenhet	Avstand i cm	Rotasjons posisjon	Luftmengde lest av cth	Luftmengde VAV rett frem	Trykk ved baas etter vifte	Luftmengde i gren BAAS	Trykk i rett frem BAAS	Dato	Temperatur	Fuktighet	Spjeldvinkel	Avvik i m3/h	Avvik i %
Målesirkel	160	1	43	65	8,16	53	2,1	14.04.2023	21	34,3	16	-10	-23,3
Målesirkel	160	2	43	65	8,18	53,3	2,2	14.04.2023	21	34,3	16	-10,3	-24,0
Målesirkel	160	3	43	65	8,6	56	2,1	14.04.2023	21	34,3	16	-13	-30,2
Målesirkel	160	1	43	244	50,43	53,3	33,8	14.04.2023	21	34,3	16	-10,3	-24,0
Målesirkel	160	2	43	244	50,1	51,6	33,9	14.04.2023	21	34,3	16	-8,6	-20,0
Målesirkel	160	3	43	244	49,15	47,7	34,4	14.04.2023	21	34,3	16	-4,7	-10,9
Målesirkel	160	1	136	45	24,35	148,5	1,2	14.04.2023	21	34,3	37	-12,5	-9,2
Målesirkel	160	2	136	45	24,54	149	1,1	14.04.2023	21	34,3	37	-13	-9,6
Målesirkel	160	3	136	45	24,46	148,7	1,1	14.04.2023	21	34,3	37	-12,7	-9,3
Målesirkel	160	1	136	204	73,1	148,8	24,3	14.04.2023	21	34,3	37	-12,8	-9,4
Målesirkel	160	2	136	204	73,43	149,4	24,2	14.04.2023	21	34,3	37	-13,4	-9,9
Målesirkel	160	3	136	204	73,81	147	24,3	14.04.2023	21	34,3	37	-11	-8,1
Målesirkel	160	1	136	408	160,8	149,1	81,7	14.04.2023	21	34,3	37	-13,1	-9,6
Målesirkel	160	2	136	408	160,23	140	85,5	14.04.2023	21	34,3	37	-4	-2,9
Målesirkel	160	3	136	408	159,1	132,4	84,3	14.04.2023	21	34,3	37	3,6	2,6
Målesirkel	160	1	423	76	135,3	407	3,1	10.05.2023	21	36	100	16	3,8
Målesirkel	160	2	423	76	135,5	404	3,1	10.05.2023	21	36	100	19	4,5
Målesirkel	160	3	423	76	135,4	405	3,1	10.05.2023	21	36	100	18	4,3

Måleenhet	Avstand i cm	Rotasjons posisjon	Luftmengde lest av cth	Luftmengde VAV rett frem	Trykk ved baas etter vifte	Luftmengde i gren BAAS	trykk i rett frem BAAS	Dato	Temperatur	Fuktighet	Spjeldvinkel	Avvik i m3/h	Avvik i %
Målekors	0	1	43	65	9,22	42,3	3,1	15.04.2023	19,9	37,2	2500 %	0,7	1,6
Målekors	0	2	43	65	8,79	42	3	15.04.2023	19,9	37,2	25	1	2,3
Målekors	0	3	43	65	8,37	41,41	3	15.04.2023	19,9	37,2	25	1,59	3,7
Målekors	0	1	43	244	54,34	28,2	40,6	15.04.2023	19,9	37,2	25	14,8	34,4
Målekors	0	2	43	244	54,45	28,2	40,4	15.04.2023	19,9	37,2	25	14,8	34,4
Målekors	0	3	43	244	54,54	28,3	40,5	15.04.2023	19,9	37,2	25	14,7	34,2
Målekors	0	1	136	45	20,84	132,5	1,3	15.04.2023	19,9	37,2	34	3,5	2,6
Målekors	0	2	136	45	21,38	135	1,4	15.04.2023	19,9	37,2	34	1	0,7
Målekors	0	3	136	45	20,48	132	1,3	15.04.2023	19,9	37,2	34	4	2,9
Målekors	0	1	136	204	68,45	124,5	27,4	15.04.2023	19,9	37,2	34	11,5	8,5
Målekors	0	2	136	204	69,61	130,3	27	15.04.2023	19,9	37,2	34	5,7	4,2
Målekors	0	3	136	204	67,23	124,1	27,3	15.04.2023	19,9	37,2	34	11,9	8,8
Målekors	0	1	136	408	148,3	122	86,6	15.04.2023	19,9	37,2	34	14	10,3
Målekors	0	2	136	408	149	128	85,3	15.04.2023	19,9	37,2	34	8	5,9
Målekors	0	3	136	408	149,6	128,3	85,2	15.04.2023	19,9	37,2	34	7,7	5,7
Målekors	0	1	430	76	126,2	398	3,3	15.04.2023	19,9	37,2	68	32	7,4
Målekors	0	2	430	76	119	380,9	3,6	15.04.2023	19,9	37,2	68	49,1	11,4
Målekors	0	3	430	76	118	384,7	3,2	15.04.2023	19,9	37,2	68	45,3	10,5

Måleenhet	Avstand i cm	Rotasjons posisjon	Luftmengde lest av cth	Luftmengde VAV rett frem	Trykk ved baas etter vifte	Luftmengde i gren BAAS	Trykk i rett frem BAAS	Dato	Temperatur	Fuktighet	Spjeldvinkel	Avvik i m3/h	Avvik i %
Målekors	16	1	43	65	8,72	42,73	3	15.04.2023	19,7	37,4	2500 %	0,27	0,6
Målekors	16	2	43	65	8,28	40,5	3	15.04.2023	19,7	37,4	25	2,5	5,8
Målekors	16	3	43	65	8,63	41,18	3,2	15.04.2023	19,7	37,4	25	1,82	4,2
Målekors	16	1	43	244	50,21	33,5	38,1	15.04.2023	19,7	37,4	25	9,5	22,1
Målekors	16	2	43	244	49,67	35,4	38	15.04.2023	19,7	37,4	25	7,6	17,7
Målekors	16	3	43	244	50,15	37,15	38	15.04.2023	19,7	37,4	25	5,85	13,6
Målekors	16	1	136	45	20,36	131,7	1,3	15.04.2023	19,7	37,4	34	4,3	3,2
Målekors	16	2	136	45	20,21	130	1,3	15.04.2023	19,7	37,4	34	6	4,4
Målekors	16	3	136	45	20,8	131	1,4	15.04.2023	19,7	37,4	34	5	3,7
Målekors	16	1	136	204	67,6	123,66	27,1	15.04.2023	19,7	37,4	34	12,34	9,1
Målekors	16	2	136	204	69,04	127,1	27	15.04.2023	19,7	37,4	34	8,9	6,5
Målekors	16	3	136	204	69,11	125,1	27,3	15.04.2023	19,7	37,4	34	10,9	8,0
Målekors	16	1	136	408	147,4	117,3	88	15.04.2023	19,7	37,4	34	18,7	13,8
Målekors	16	2	136	408	148,3	122,2	86,3	15.04.2023	19,7	37,4	34	13,8	10,1
Målekors	16	3	136	408	148	120	86,7	15.04.2023	19,7	37,4	34	16	11,8
Målekors	16	1	430	76	128,3	406	3	15.04.2023	19,7	37,4	68	24	5,6
Målekors	16	2	430	76	127,9	398	3,7	15.04.2023	19,7	37,4	68	32	7,4
Målekors	16	3	430	76	128,2	396	3,8	15.04.2023	19,7	37,4	68	34	7,9

Måleenhet	Avstand i cm	Rotasjons posisjon	Luftmengde lest av cth	Luftmengde VAV rett frem	Trykk ved baas etter vifte	Luftmengde i gren BAAS	trykk i rett frem BAAS	Dato	Temperatur	Fuktighet	Spjeldvinkel	Avvik i m3/h	Avvik i %
Målekors	48	1	43	65	8,5	47	3	15.04.2023	18,9	35,9	2500 %	-4	-9,3
Målekors	48	2	43	65	8,5	46	3	15.04.2023	18,9	35,9	25	-3	-7,0
Målekors	48	3	43	65	8,8	47	3	15.04.2023	18,9	35,9	25	-4	-9,3
Målekors	48	1	43	244	54,7	49	38,6	15.04.2023	18,9	35,9	25	-6	-14,0
Målekors	48	2	43	244	53,9	46	38,8	15.04.2023	18,9	35,9	25	-3	-7,0
Målekors	48	3	43	244	53,8	46	39,1	15.04.2023	18,9	35,9	25	-3	-7,0
Målekors	48	1	136	45	20,7	138	1,2	15.04.2023	18,9	35,9	34	-2	-1,5
Målekors	48	2	136	45	19,9	137	1,2	15.04.2023	18,9	35,9	34	-1	-0,7
Målekors	48	3	136	45	20,3	139	1,2	15.04.2023	18,9	35,9	34	-3	-2,2
Målekors	48	1	136	204	85,7	136	37	15.04.2023	18,9	35,9	34	0	0,0
Målekors	48	2	136	204	88,3	137	38,1	15.04.2023	18,9	35,9	34	-1	-0,7
Målekors	48	3	136	204	88,2	136	38,3	15.04.2023	18,9	35,9	34	0	0,0
Målekors	48	1	136	408	148,4	135	82,2	15.04.2023	18,9	35,9	34	1	0,7
Målekors	48	2	136	408	148,5	136	82	15.04.2023	18,9	35,9	34	0	0,0
Målekors	48	3	136	408	148,2	135	82,6	15.04.2023	18,9	35,9	34	1	0,7
Målekors	48	1	430	76	126,7	399,4	3,7	15.04.2023	18,9	35,9	70	30,6	7,1
Målekors	48	2	430	76	125,8	397	3,5	15.04.2023	18,9	35,9	70	33	7,7
Målekors	48	3	430	76	127,0	397	3,6	15.04.2023	18,9	35,9	70	33	7,7

Måleenhet	Avstand i cm	Rotasjons posisjon	Luftmengde lest av cth	Luftmengde VAV rett frem	Trykk ved baas etter vifte	Luftmengde i gren BAAS	Trykk i rett frem BAAS	Dato	Temperatur	Fuktighet	Spjeldvinkel	Avvik i m3/h	Avvik i %
Målekors	80	1	43	65	11,1	52	3,1	15.04.2023	21,1	38,1	2400 %	-9	-20,9
Målekors	80	2	43	65	10,9	54	3,2	15.04.2023	21,1	38,1	24	-11	-25,6
Målekors	80	3	43	65	10,8	52	3,1	15.04.2023	21,1	38,1	24	-9	-20,9
Målekors	80	1	43	244	57,1	52	39,7	15.04.2023	21,1	38,1	24	-9	-20,9
Målekors	80	2	43	244	56,6	53	39,7	15.04.2023	21,1	38,1	24	-10	-23,3
Målekors	80	3	43	244	58,2	56	38,9	15.04.2023	21,1	38,1	24	-13	-30,2
Målekors	80	1	136	45	21,4	138	1,3	15.04.2023	21,1	38,1	33	-2	-1,5
Målekors	80	2	136	45	21,2	138	1,3	15.04.2023	21,1	38,1	33	-2	-1,5
Målekors	80	3	136	45	22,0	138	1,4	15.04.2023	21,1	38,1	33	-2	-1,5
Målekors	80	1	136	204	72,3	139	26,4	15.04.2023	21,1	38,1	33	-3	-2,2
Målekors	80	2	136	204	71,7	139	26,4	15.04.2023	21,1	38,1	33	-3	-2,2
Målekors	80	3	136	204	71,7	139	26,5	15.04.2023	21,1	38,1	33	-3	-2,2
Målekors	80	1	136	408	148,7	137	80,5	15.04.2023	21,1	38,1	33	-1	-0,7
Målekors	80	2	136	408	148,6	135	80,7	15.04.2023	21,1	38,1	33	1	0,7
Målekors	80	3	136	408	148,5	133	81,6	15.04.2023	21,1	38,1	33	3	2,2
Målekors	80	1	430	76	135,0	407	3,6	15.04.2023	21,1	38,1	73	23	5,3
Målekors	80	2	430	76	138,5	414	3,6	15.04.2023	21,1	38,1	73	16	3,7
Målekors	80	3	430	76	139,8	418	3,6	15.04.2023	21,1	38,1	73	12	2,8

Måleenhet	Avstand i cm	Rotasjons posisjon	Luftmengde lest av cth	Luftmengde VAV rett frem	Trykk ved baas etter vifte	Luftmengde i gren BAAS	Trykk i rett frem BAAS	Dato	Temperatur	Fuktighet	Spjeldvinkel	Avvik i m3/h	Avvik i %
Målekors	160	1	43	65	11,0	51	3	15.04.2023	20,06	37,1	24 %	-8	-18,6
Målekors	160	2	43	65	10,6	54	3,1	15.04.2023	20,06	37,1	24	-11	-25,6
Målekors	160	3	43	65	10,7	52	3,1	15.04.2023	20,06	37,1	24	-9	-20,9
Målekors	160	1	43	244	57,0	51	39,5	15.04.2023	20,06	37,1	24	-8	-18,6
Målekors	160	2	43	244	56,4	52	39,5	15.04.2023	20,06	37,1	24	-9	-20,9
Målekors	160	3	43	244	58,1	55	39	15.04.2023	20,06	37,1	24	-12	-27,9
Målekors	160	1	136	45	21,5	141	1,2	15.04.2023	20,06	37,1	33	-5	-3,7
Målekors	160	2	136	45	22,0	143	1,2	15.04.2023	20,06	37,1	33	-7	-5,1
Målekors	160	3	136	45	21,7	142	1,2	15.04.2023	20,06	37,1	33	-6	-4,4
Målekors	160	1	136	204	73,6	141	27,3	15.04.2023	20,06	37,1	33	-5	-3,7
Målekors	160	2	136	204	72,8	140	26,9	15.04.2023	20,06	37,1	33	-4	-2,9
Målekors	160	3	136	204	69,0	139	26,2	15.04.2023	20,06	37,1	33	-3	-2,2
Målekors	160	1	136	408	150,3	140	80,7	15.04.2023	20,06	37,1	36	-4	-2,9
Målekors	160	2	136	408	150,8	142	80,5	15.04.2023	20,06	37,1	36	-6	-4,4
Målekors	160	3	136	408	150,8	142	80,4	15.04.2023	20,06	37,1	36	-6	-4,4
Målekors	160	1	430	76	131,7	407	3,6	10.05.2023	21	36	100	23	5,3
Målekors	160	2	430	76	130,1	404	3,6	10.05.2023	21	36	100	26	6,0
Målekors	160	3	430	76	125,1	401	3,1	10.05.2023	21	36	100	29	6,7

Måleenhet	Avstand i cm	Rotasjons posisjon	Luftmengde lest av cth	Luftmengde VAV rett frem	Irisspjeld	Trykk ved baas etter vifte	Trykk i gren BAAS	Trykk i rett frem B	Dato	Temperatur	Fuktighet	Spjeldvinkel	Avvik i m3/h	Avvik i %
Tyrkk OSP	0	1	43	244	åpen	51,31	47	38,70	16.04.2023	19,4	41,2	N/A	-4,0	-9,3
Tyrkk OSP	0	2	43	244	åpen	51,24	46	38,70	16.04.2023	19,4	41,2	N/A	-3,0	-7,0
Tyrkk OSP	0	3	43	244	åpen	50,36	42	38,90	16.04.2023	19,4	41,2	N/A	1,0	2,3
Tyrkk OSP	0	1	43	244	stengt	52,23	50	38,30	16.04.2023	19,4	41,2	N/A	-7,0	-16,3
Tyrkk OSP	0	2	43	244	stengt	51,76	47	38,50	16.04.2023	19,4	41,2	N/A	-4,0	-9,3
Tyrkk OSP	0	3	43	244	stengt	50,84	43	38,90	16.04.2023	19,4	41,2	N/A	0,0	0,0
Tyrkk OSP	0	1	136	45	åpen	18,13	123	1,50	16.04.2023	19,4	41,2	N/A	13,0	9,6
Tyrkk OSP	0	2	136	45	åpen	16,333	117	1,30	16.04.2023	19,4	41,2	N/A	19,0	14,0
Tyrkk OSP	0	3	136	45	åpen	16,29	117	1,30	16.04.2023	19,4	41,2	N/A	19,0	14,0
Tyrkk OSP	0	1	136	45	stengt	18,06	128	1,30	16.04.2023	19,4	41,2	N/A	8,0	5,9
Tyrkk OSP	0	2	136	45	stengt	17,3	125	1,30	16.04.2023	19,4	41,2	N/A	11,0	8,1
Tyrkk OSP	0	3	136	45	stengt	17,1	121	1,30	16.04.2023	19,4	41,2	N/A	15,0	11,0
Tyrkk OSP	0	1	136	408	åpen	147,8	131	84,10	16.04.2023	19,4	41,2	N/A	5,0	3,7
Tyrkk OSP	0	2	136	408	åpen	147,1	124	85,90	16.04.2023	19,4	41,2	N/A	12,0	8,8
Tyrkk OSP	0	3	136	408	åpen	149,6	132	83,50	16.04.2023	19,4	41,2	N/A	4,0	2,9
Tyrkk OSP	0	1	100,9	408	stengt	137,6	98	89,80	10.05.2023	21	36	N/A	2,9	2,9
Tyrkk OSP	0	2	103,9	408	stengt	137,9	95	91,20	10.05.2023	21	36	N/A	8,9	8,6
Tyrkk OSP	0	3	110,4	408	stengt	137,8	96	91,20	10.05.2023	21	36	N/A	14,4	13,0
Tyrkk OSP	0	1	430	76	åpen	127,4	407	3,20	16.04.2023	19,4	41,2	N/A	23	5,3
Tyrkk OSP	0	2	430	76	åpen	114,8	373	4,40	16.04.2023	19,4	41,2	N/A	57,0	13,3
Tyrkk OSP	0	3	430	76	åpen	135,8	430	2,60	16.04.2023	19,4	41,2	N/A	0,0	0,0
Tyrkk OSP	0	1	200	76	stengt	42,12	191	3,80	10.05.2023	21	36	N/A	9,0	4,5
Tyrkk OSP	0	2	221,7	76	stengt	42	190	4,00	10.05.2023	21	36	N/A	31,7	14,3
Tyrkk OSP	0	3	195,8	76	stengt	42,14	190	3,90	10.05.2023	21	36	N/A	5,8	3,0

Måleenhet	Avstand i cm	Rotasjons posisjon	Luftmengde lest av cth	Luftmengde VAV rett	Irisspjeld	Trykk ved baas etter vifte	Luftmengde BAAS gren	Trykk i rett frem BAAS	Dato	Temperatur	Fuktighet	Spjeldvinkel	Avvik i m3/h	Avvik i %
Tyrkk OSP	16	1	43	244	åpen	50,76	41	37,90	16.04.2023	20,1	41,2	N/A	2,0	4,7
Tyrkk OSP	16	2	43	244	åpen	50,67	40	38,00	16.04.2023	20,1	41,2	N/A	3,0	7,0
Tyrkk OSP	16	3	43	244	åpen	50,53	38	38,20	16.04.2023	20,1	41,2	N/A	5,0	11,6
Tyrkk OSP	16	1	43	244	stengt	50,67	45	38,30	16.04.2023	20,1	41,2	N/A	-2,0	-4,7
Tyrkk OSP	16	2	43	244	stengt	50,29	44	38,10	16.04.2023	20,1	41,2	N/A	-1,0	-2,3
Tyrkk OSP	16	3	43	244	stengt	50,12	42	38,20	16.04.2023	20,1	41,2	N/A	1,0	2,3
Tyrkk OSP	16	1	136	45	åpen	18,66	119	1,40	16.04.2023	20,1	41,2	N/A	17,0	12,5
Tyrkk OSP	16	2	136	45	åpen	15,82	117	1,30	16.04.2023	20,1	41,2	N/A	19,0	14,0
Tyrkk OSP	16	3	136	45	åpen	16,13	117	1,30	16.04.2023	20,1	41,2	N/A	19,0	14,0
Tyrkk OSP	16	1	136	45	stengt	21,85	133	1,70	16.04.2023	20,1	41,2	N/A	3,0	2,2
Tyrkk OSP	16	2	136	45	stengt	19,54	131	1,50	16.04.2023	20,1	41,2	N/A	5,0	3,7
Tyrkk OSP	16	3	136	45	stengt	19,33	133	1,30	16.04.2023	20,1	41,2	N/A	3,0	2,2
Tyrkk OSP	16	1	136	408	åpen	144,8	129	83,30	16.04.2023	20,1	41,2	N/A	7,0	5,1
Tyrkk OSP	16	2	136	408	åpen	143,9	119	85,60	16.04.2023	20,1	41,2	N/A	17,0	12,5
Tyrkk OSP	16	3	136	408	åpen	145,3	126	83,70	16.04.2023	20,1	41,2	N/A	10,0	7,4
Tyrkk OSP	16	1	97,6	408	stengt	137,1	93	91,70	10.05.2023	21	36	N/A	4,6	4,7
Tyrkk OSP	16	2	107,5	408	stengt	136,1	93	91,20	10.05.2023	21	36	N/A	14,5	13,5
Tyrkk OSP	16	3	102,2	408	stengt	136,7	94	91,30	10.05.2023	21	36	N/A	8,2	8,0
Tyrkk OSP	16	1	430	76	åpen	138,8	413	4,20	16.04.2023	20,1	41,2	N/A	17	4,0
Tyrkk OSP	16	2	430	76	åpen	122,3	384	4,00	16.04.2023	20,1	41,2	N/A	46,0	10,7
Tyrkk OSP	16	3	430	76	åpen	123,2	391	3,30	16.04.2023	20,1	41,2	N/A	39,0	9,1
Tyrkk OSP	16	1	197,8	76	stengt	41,9	188	3,90	10.05.2023	21	36	N/A	9,8	5,0
Tyrkk OSP	16	2	210	76	stengt	41,48	187	3,90	10.05.2023	21	36	N/A	23,0	11,0
Tyrkk OSP	16	3	205,2	76	stengt	41,98	187	4,10	10.05.2023	21	36	N/A	18,2	8,9

Måleenhet	Avstand i cm	Rotasjons posisjon	Luftmengde lest av cth	Luftmengde VAV rett	Irisspjeld	rykk ved baas etter vift	Luftmengde BAAS gren	Trykk i rett frem BAAS	Dato	Temperatur	Fuktighet	Spjeldvinkel	Avvik i m3/h	Avvik i %
Tyrkk OSP	48	1	43	244	åpen	50,51	31	38,30	16.04.2023	20,1	41,2	N/A	12,0	27,9
Tyrkk OSP	48	2	43	244	åpen	49,29	30	38,00	16.04.2023	20,1	41,2	N/A	13,0	30,2
Tyrkk OSP	48	3	43	244	åpen	48,25	26	38,40	16.04.2023	20,1	41,2	N/A	17,0	39,5
Tyrkk OSP	48	1	43	244	stengt	48,67	35	38,20	16.04.2023	20,1	41,2	N/A	8,0	18,6
Tyrkk OSP	48	2	43	244	stengt	48,65	31	38,40	16.04.2023	20,1	41,2	N/A	12,0	27,9
Tyrkk OSP	48	3	43	244	stengt	48,49	29	38,50	16.04.2023	20,1	41,2	N/A	14,0	32,6
Tyrkk OSP	48	1	136	45	åpen	15,24	112	1,30	16.04.2023	20,1	41,2	N/A	24,0	17,6
Tyrkk OSP	48	2	136	45	åpen	15,5	114	1,30	16.04.2023	20,1	41,2	N/A	22,0	16,2
Tyrkk OSP	48	3	136	45	åpen	15,1	111	1,30	16.04.2023	20,1	41,2	N/A	25,0	18,4
Tyrkk OSP	48	1	136	45	stengt	18,78	124	1,50	16.04.2023	20,1	41,2	N/A	12,0	8,8
Tyrkk OSP	48	2	136	45	stengt	16,45	118	1,40	16.04.2023	20,1	41,2	N/A	18,0	13,2
Tyrkk OSP	48	3	136	45	stengt	15,93	115	1,20	16.04.2023	20,1	41,2	N/A	21,0	15,4
Tyrkk OSP	48	1	136	408	åpen	139,6	120	83,40	16.04.2023	20,1	41,2	N/A	16,0	11,8
Tyrkk OSP	48	2	136	408	åpen	142,5	122	84,00	16.04.2023	20,1	41,2	N/A	14,0	10,3
Tyrkk OSP	48	3	136	408	åpen	143,8	123	84,50	16.04.2023	20,1	41,2	N/A	13,0	9,6
Tyrkk OSP	48	1	108	408	stengt	136,3	95	91,00	10.05.2023	21	36	N/A	13,0	12,0
Tyrkk OSP	48	2	106,9	408	stengt	137	95	91,70	10.05.2023	21	36	N/A	11,9	11,1
Tyrkk OSP	48	3	103,3	408	stengt	136,7	95	91,80	10.05.2023	21	36	N/A	8,3	8,0
Tyrkk OSP	48	1	430	76	åpen	126,2	400	3,60	16.04.2023	20,1	41,2	N/A	30	7,0
Tyrkk OSP	48	2	430	76	åpen	125,4	397	3,60	16.04.2023	20,1	41,2	N/A	33,0	7,7
Tyrkk OSP	48	3	430	76	åpen	125,9	397	3,60	16.04.2023	20,1	41,2	N/A	33,0	7,7
Tyrkk OSP	48	1	200,8	76	stengt	41,48	188	4,00	10.05.2023	21	36	N/A	12,8	6,4
Tyrkk OSP	48	2	203,5	76	stengt	41,35	188	3,90	10.05.2023	21	36	N/A	15,5	7,6
Tyrkk OSP	48	3	203,3	76	stengt	41,32	188	3,90	10.05.2023	21	36	N/A	15,3	7,5

Måleenhet	Avstand i cm	Rotasjons posisjon	Luftmengde lest av cth	Luftmengde VAV rett	Irisspjeld	Trykk ved baas etter vifte	Luftmengde BAAS gren	Trykk i rett frem BAAS	Dato	Temperatur	Fuktighet	Spjeldvinkel	Avvik i m3/h	Avvik i %
Tyrkk OSP	80	1	43	244	åpen	52,63	52	37,50	16.04.2023	20,2	37,3	N/A	-9,0	-20,9
Tyrkk OSP	80	2	43	244	åpen	52,23	51	37,50	16.04.2023	20,2	37,3	N/A	-8,0	-18,6
Tyrkk OSP	80	3	43	244	åpen	52,33	52	37,60	16.04.2023	20,2	37,3	N/A	-9,0	-20,9
Tyrkk OSP	80	1	43	244	stengt	53,89	51	39,00	16.04.2023	20,2	37,3	N/A	-8,0	-18,6
Tyrkk OSP	80	2	43	244	stengt	52,5	51	37,80	16.04.2023	20,2	37,3	N/A	-8,0	-18,6
Tyrkk OSP	80	3	43	244	stengt	51,82	51	37,70	16.04.2023	20,2	37,3	N/A	-8,0	-18,6
Tyrkk OSP	80	1	136	45	åpen	16,15	119	1,30	16.04.2023	20,2	37,3	N/A	17,0	12,5
Tyrkk OSP	80	2	136	45	åpen	15,99	117	1,30	16.04.2023	20,2	37,3	N/A	19,0	14,0
Tyrkk OSP	80	3	136	45	åpen	16,26	119	1,30	16.04.2023	20,2	37,3	N/A	17,0	12,5
Tyrkk OSP	80	1	136	45	stengt	19,96	134	1,50	16.04.2023	20,2	37,3	N/A	2,0	1,5
Tyrkk OSP	80	2	136	45	stengt	19,49	135	1,30	16.04.2023	20,2	37,3	N/A	1,0	0,7
Tyrkk OSP	80	3	136	45	stengt	19,39	135	1,50	16.04.2023	20,2	37,3	N/A	1,0	0,7
Tyrkk OSP	80	1	136	408	åpen	139	124	81,80	16.04.2023	20,2	37,3	N/A	12,0	8,8
Tyrkk OSP	80	2	136	408	åpen	145	129	83,00	16.04.2023	20,2	37,3	N/A	7,0	5,1
Tyrkk OSP	80	3	136	408	åpen	145,2	128	83,40	16.04.2023	20,2	37,3	N/A	8,0	5,9
Tyrkk OSP	80	1	102,3	408	stengt	136,9	96	90,80	10.05.2023	21	36	N/A	6,3	6,2
Tyrkk OSP	80	2	102,6	408	stengt	137,1	96	90,30	10.05.2023	21	36	N/A	6,6	6,4
Tyrkk OSP	80	3	102,1	408	stengt	137,6	95	91,80	10.05.2023	21	36	N/A	7,1	7,0
Tyrkk OSP	80	1	430	76	åpen	134,5	413	3,60	16.04.2023	20,2	37,3	N/A	17	4,0
Tyrkk OSP	80	2	430	76	åpen	132,2	411	3,60	16.04.2023	20,2	37,3	N/A	19,0	4,4
Tyrkk OSP	80	3	430	76	åpen	132,3	410	3,60	16.04.2023	20,2	37,3	N/A	20,0	4,7
Tyrkk OSP	80	1	194,3	76	stengt	41,16	188	3,90	10.05.2023	21	36	N/A	6,3	3,2
Tyrkk OSP	80	2	193,2	76	stengt	41,37	188	3,90	10.05.2023	21	36	N/A	5,2	2,7
Tyrkk OSP	80	3	194,7	76	stengt	42,24	187	4,10	10.05.2023	21	36	N/A	7,7	4,0

Måleenhet	Avstand i cm	Rotasjons posisjon	Luftmengde lest av cth	Luftmengde VAV re	Irisspjeld	Trykk ved baas etter vifte	Luftmengde BAAS gren	Trykk i rett frem BAAS	Dato	Temperatur	Fuktighet	Spjeldvinkel	Avvik i m3/h	Avvik i %
Tyrkk OSP	160	1	43	244	åpen	49,5	44	38,4	16.04.2023	20,2	37,3	N/A	-1	-2,3
Tyrkk OSP	160	2	43	244	åpen	47,9	44	37,4	16.04.2023	20,2	37,3	N/A	-1	-2,3
Tyrkk OSP	160	3	43	244	åpen	47,9	43	37,8	16.04.2023	20,2	37,3	N/A	0	0,0
Tyrkk OSP	160	1	43	244	stengt	47,7	44	37,6	16.04.2023	20,2	37,3	N/A	-1	-2,3
Tyrkk OSP	160	2	43	244	stengt	47,9	43	37,6	16.04.2023	20,2	37,3	N/A	0	0,0
Tyrkk OSP	160	3	43	244	stengt	47,1	42	37,6	16.04.2023	20,2	37,3	N/A	1	2,3
Tyrkk OSP	160	1	136	45	åpen	14,4	113	1,3	16.04.2023	20,2	37,3	N/A	23	16,9
Tyrkk OSP	160	2	136	45	åpen	15,0	116	1,3	16.04.2023	20,2	37,3	N/A	20	14,7
Tyrkk OSP	160	3	136	45	åpen	14,6	114	1,3	16.04.2023	20,2	37,3	N/A	22	16,2
Tyrkk OSP	160	1	136	45	stengt	17,0	126	1,3	16.04.2023	20,2	37,3	N/A	10	7,4
Tyrkk OSP	160	2	136	45	stengt	15,8	120	1,2	16.04.2023	20,2	37,3	N/A	16	11,8
Tyrkk OSP	160	3	136	45	stengt	15,1	115	1,2	16.04.2023	20,2	37,3	N/A	21	15,4
Tyrkk OSP	160	1	136	408	åpen	140,3	121	82,9	16.04.2023	20,2	37,3	N/A	15	11,0
Tyrkk OSP	160	2	136	408	åpen	143,1	124	84,2	16.04.2023	20,2	37,3	N/A	12	8,8
Tyrkk OSP	160	3	136	408	åpen	143,8	124	85	16.04.2023	20,2	37,3	N/A	12	8,8
Tyrkk OSP	160	1	106,5	408	stengt	136,0	98	90,4	10.05.2023	21,0	36	N/A	8,5	8,0
Tyrkk OSP	160	2	106,5	408	stengt	135,8	98	90,5	10.05.2023	21,0	36	N/A	8,5	8,0
Tyrkk OSP	160	3	106,5	408	stengt	136,3	98	91,3	10.05.2023	21,0	36	N/A	8,5	8,0
Tyrkk OSP	160	1	430	76	åpen	133,4	413	3,5	16.04.2023	20,2	37,3	N/A	17	4,0
Tyrkk OSP	160	2	430	76	åpen	132,4	413	3,5	16.04.2023	20,2	37,3	N/A	17	4,0
Tyrkk OSP	160	3	430	76	åpen	129,4	410	3,2	16.04.2023	20,2	37,3	N/A	20	4,7
Tyrkk OSP	160	1	204,3	76	stengt	41,0	192	4	10.05.2023	21,0	36	N/A	12,3	6,0
Tyrkk OSP	160	2	200	76	stengt	40,7	188	3,9	10.05.2023	21,0	36	N/A	12	6,0
Tyrkk OSP	160	3	200	76	stengt	40,5	188	3,8	10.05.2023	21,0	36	N/A	12	6,0

Måleenhet	Avstand i cm	Rotasjons posisjon	Luftmengde VAV gren	Luftmengde VAV rett	Trykk ved baas etter vifte	Luftmengde i gren BAAS	Trykk i rett frem BAAS	Dato	Temperatur	Fuktighet	Spjeldvinkel	Avvik i m3/h	Avvik i %
Ultralyd	0	1	43	65	12,5	69	3,45	17.04.2023	18,6	35,3	27,0	-26	-60,5
Ultralyd	0	2	43	65	11,8	61	3,5	17.04.2023	18,6	35,3	27	-18	-41,9
Ultralyd	0	3	43	65	11,3	58	3,5	17.04.2023	18,6	35,3	27	-15	-34,9
Ultralyd	0	1	43	244	77,5	117	38,49	17.04.2023	18,6	35,3	40	-74	-172,1
Ultralyd	0	2	43	244	69,7	93	38,08	17.04.2023	18,6	35,3	33	-50	-116,3
Ultralyd	0	3	43	244	66,2	80	38,09	17.04.2023	18,6	35,3	33	-37	-86,0
Ultralyd	0	1	136	45	30,3	180	2,03	17.04.2023	18,6	35,3	41	-44	-32,4
Ultralyd	0	2	136	45	25,6	161	1,92	17.04.2023	18,6	35,3	41	-25	-18,4
Ultralyd	0	3	136	45	26,8	168	1,87	17.04.2023	18,6	35,3	42	-32	-23,5
Ultralyd	0	1	136	204	100,2	209	26,62	17.04.2023	18,6	35,3	49	-73	-53,7
Ultralyd	0	2	136	204	92,1	192	27,18	17.04.2023	18,6	35,3	49	-56	-41,2
Ultralyd	0	3	136	204	94,1	197	26,54	17.04.2023	18,6	35,3	49	-61	-44,9
Ultralyd	0	1	136	408	166,1	230	58,2	17.04.2023	18,6	35,3	84	-94	-69,1
Ultralyd	0	2	136	408	161,9	213	62,31	17.04.2023	18,6	35,3	77	-77	-56,6
Ultralyd	0	3	136	408	161,1	204	64,86	17.04.2023	18,6	35,3	77	-68	-50,0
Ultralyd	0	1	430	76	138,4	450	4,17	10.05.2023	21,0	36	100	-20	-4,7
Ultralyd	0	2	430	76	138,3	440	4,15	10.05.2023	21,0	36	100	-10	-2,3
Ultralyd	0	3	430	76	138,4	449	4,28	10.05.2023	21,0	36	100	-19	-4,4

Måleenhet	Avstand i cm	Rotasjons posisjon	Luftmengde VAV gren	Luftmengde VAV rett	Trykk ved baas etter vifte	Luftmengde i gren BAAS	Trykk i rett frem BAAS	Dato	Temperatur	Fuktighet	Spjeldvinkel	Avvik i m3/h	Avvik i %
Ultralyd	16	1	43	65	11,7	64	3,21	17.04.2023	19,9	32,5	28,0	-21	-48,8
Ultralyd	16	2	43	65	10,6	57	3,4	17.04.2023	19,9	32,5	28	-14	-32,6
Ultralyd	16	3	43	65	10,3	53	3,42	17.04.2023	19,9	32,5	28	-10	-23,3
Ultralyd	16	1	43	244	69,8	99	36,39	17.04.2023	19,9	32,5	35	-56	-130,2
Ultralyd	16	2	43	244	59,2	49	40,32	17.04.2023	19,9	32,5	28	-6	-14,0
Ultralyd	16	3	43	244	65,6	88	37,74	17.04.2023	19,9	32,5	33	-45	-104,7
Ultralyd	16	1	136	45	28,7	176	1,74	17.04.2023	19,9	32,5	40	-40	-29,4
Ultralyd	16	2	136	45	24,8	154	1,83	17.04.2023	19,9	32,5	40	-18	-13,2
Ultralyd	16	3	136	45	26,8	161	2	17.04.2023	19,9	32,5	40	-25	-18,4
Ultralyd	16	1	136	204	96,1	198	26,77	17.04.2023	19,9	32,5	52	-62	-45,6
Ultralyd	16	2	136	204	86,4	172	27,69	17.04.2023	19,9	32,5	46	-36	-26,5
Ultralyd	16	3	136	204	88,4	188	25,33	17.04.2023	19,9	32,5	48	-52	-38,2
Ultralyd	16	1	136	408	164,6	217	61,35	17.04.2023	19,9	32,5	77	-81	-59,6
Ultralyd	16	2	136	408	158,7	188	68,47	17.04.2023	19,9	32,5	70	-52	-38,2
Ultralyd	16	3	136	408	160,7	199	65,58	17.04.2023	19,9	32,5	74	-63	-46,3
Ultralyd	16	1	430	76	138,8	451	4,16	10.05.2023	21,0	36	100	-21	-4,9
Ultralyd	16	2	430	76	139,1	437	3,98	10.05.2023	21,0	36	100	-7	-1,6
Ultralyd	16	3	430	76	138,6	445	3,93	10.05.2023	21,0	36	100	-15	-3,5

Måleenhet	Avstand i cm	Rotasjons posisjon	Luftmengde VAV gren	Luftmengde VAV rett	Trykk ved baas etter vifte	Luftmengde i gren BAAS	Trykk i rett frem BAAS	Dato	Temperatur	Fuktighet	Spjeldvinkel	Avvik i m3/h	Avvik i %
Ultralyd	48	1	43	65	10,2	51	3,2	17.04.2023	19,7	33,2	25,0	-8	-18,6
Ultralyd	48	2	43	65	9,5	43	3,3	17.04.2023	19,7	33,2	25	0	0,0
Ultralyd	48	3	43	65	9,5	43	3,5	17.04.2023	19,7	33,2	25	0	0,0
Ultralyd	48	1	43	244	55,1	46	37,5	17.04.2023	19,7	33,2	26	-3	-7,0
Ultralyd	48	2	43	244	53,1	43	38,5	17.04.2023	19,7	33,2	26	0	0,0
Ultralyd	48	3	43	244	54,8	48	37,6	17.04.2023	19,7	33,2	26	-5	-11,6
Ultralyd	48	1	136	45	23,8	151	1,6	17.04.2023	19,7	33,2	38	-15	-11,0
Ultralyd	48	2	136	45	22,4	144	1,6	17.04.2023	19,7	33,2	38	-8	-5,9
Ultralyd	48	3	136	45	21,5	141	1,6	17.04.2023	19,7	33,2	38	-5	-3,7
Ultralyd	48	1	136	204	75,9	153	26,3	17.04.2023	19,7	33,2	42	-17	-12,5
Ultralyd	48	2	136	204	74,2	147	26,9	17.04.2023	19,7	33,2	42	-11	-8,1
Ultralyd	48	3	136	204	72,7	144	26,2	17.04.2023	19,7	33,2	42	-8	-5,9
Ultralyd	48	1	136	408	154,8	157	75,4	17.04.2023	19,7	33,2	60	-21	-15,4
Ultralyd	48	2	136	408	153,0	149	79,6	17.04.2023	19,7	33,2	58	-13	-9,6
Ultralyd	48	3	136	408	152,5	156	76,8	17.04.2023	19,7	33,2	60	-20	-14,7
Ultralyd	48	1	430	76	138,8	446	3,9	10.05.2023	21,0	36	100	-16	-3,7
Ultralyd	48	2	430	76	137,7	435	3,9	10.05.2023	21,0	36	100	-5	-1,2
Ultralyd	48	3	430	76	138,6	446	4,0	10.05.2023	21,0	36	100	-16	-3,7

Måleenhet	Avstand i cm	Rotasjons posisjon	Luftmengde VAV gren	Luftmengde VAV rett	Trykk ved baas etter vifte	Luftmengde i gren BAAS	Trykk i rett frem BAAS	Dato	Temperatur	Fuktighet	Spjeldvinkel	Avvik i m3/h	Avvik i %
Ultralyd	80	1	43	65	9,2	34	3,1	17.04.2023	20,2	35,0	23,0	9	20,9
Ultralyd	80	2	43	65	10,1	43	3,1	17.04.2023	20,2	35,0	23	0	0,0
Ultralyd	80	3	43	65	8,5	36	3,0	17.04.2023	20,2	35,0	23	7	16,3
Ultralyd	80	1	43	244	52,9	36	38,5	17.04.2023	20,2	35,0	25	7	16,3
Ultralyd	80	2	43	244	53,4	38	38,6	17.04.2023	20,2	35,0	25	5	11,6
Ultralyd	80	3	43	244	54,1	39	38,2	17.04.2023	20,2	35,0	25	4	9,3
Ultralyd	80	1	136	45	22,4	139	1,5	17.04.2023	20,2	35,0	38	-3	-2,2
Ultralyd	80	2	136	45	22,8	139	1,6	17.04.2023	20,2	35,0	38	-3	-2,2
Ultralyd	80	3	136	45	23,1	140	1,5	17.04.2023	20,2	35,0	38	-4	-2,9
Ultralyd	80	1	136	204	76,4	143	27,4	17.04.2023	20,2	35,0	42	-7	-5,1
Ultralyd	80	2	136	204	73,0	144	26,6	17.04.2023	20,2	35,0	42	-8	-5,9
Ultralyd	80	3	136	204	72,5	141	26,1	17.04.2023	20,2	35,0	42	-5	-3,7
Ultralyd	80	1	136	408	152,2	140	81,6	17.04.2023	20,2	35,0	56	-4	-2,9
Ultralyd	80	2	136	408	152,5	141	81,9	17.04.2023	20,2	35,0	56	-5	-3,7
Ultralyd	80	3	136	408	151,6	140	81,0	17.04.2023	20,2	35,0	56	-4	-2,9
Ultralyd	80	1	430	76	139,9	440	4,7	10.05.2023	21,0	36,0	100	-10	-2,3
Ultralyd	80	2	430	76	138,1	439	4,0	10.05.2023	21,0	36,0	100	-9	-2,1
Ultralyd	80	3	430	76	138,8	439	3,8	10.05.2023	21,0	36,0	100	-9	-2,1

Måleenhet	Avstand i cm	Rotasjons posisjon	Luftmengde VAV gren	Luftmengde VAV rett	Trykk ved baas etter vifte	Luftmengde i gren BAAS	Trykk i rett frem BAAS	Dato	Temperatur	Fuktighet	Spjeldvinkel	Avvik i m3/h	Avvik i %
Ultralyd	160	1	43	65	8,6	28	2,8	17.04.2023	19,6	35,1	20,9	15	34,9
Ultralyd	160	2	43	65	7,9	19	2,7	17.04.2023	19,6	35,1	21	24	55,8
Ultralyd	160	3	43	65	8,2	28	2,7	17.04.2023	19,6	35,1	21	15	34,9
Ultralyd	160	1	43	244	53,9	24	39,5	17.04.2023	19,6	35,1	40	19	44,2
Ultralyd	160	2	43	244	54,1	24	39,4	17.04.2023	19,6	35,1	40	19	44,2
Ultralyd	160	3	43	244	53,9	24	39,1	17.04.2023	19,6	35,1	40	19	44,2
Ultralyd	160	1	136	45	22,6	129	1,5	17.04.2023	19,6	35,1	40	7	5,1
Ultralyd	160	2	136	45	21,0	129	1,4	17.04.2023	19,6	35,1	40	7	5,1
Ultralyd	160	3	136	45	21,1	130	1,4	17.04.2023	19,6	35,1	40	6	4,4
Ultralyd	160	1	136	204	73,1	139	26,9	17.04.2023	19,6	35,1	40	-3	-2,2
Ultralyd	160	2	136	204	72,1	136	27,2	17.04.2023	19,6	35,1	40	0	0,0
Ultralyd	160	3	136	204	70,0	136	25,6	17.04.2023	19,6	35,1	40	0	0,0
Ultralyd	160	1	136	408	150,6	138	81,2	17.04.2023	19,6	35,1	54	-2	-1,5
Ultralyd	160	2	136	408	151,9	137	82,8	17.04.2023	19,6	35,1	55	-1	-0,7
Ultralyd	160	3	136	408	152,5	142	81,0	17.04.2023	19,6	35,1	56	-6	-4,4
Ultralyd	160	1	430	76	137,4	433	3,8	10.05.2023	21,0	36,0	100	-3	-0,7
Ultralyd	160	2	430	76	137,4	430	4,0	10.05.2023	21,0	36,0	100	0	0,0
Ultralyd	160	3	430	76	138,9	427	4,7	10.05.2023	21,0	36,0	100	3	0,7